

Nanofyzika

Řešení Schrodingerovy rovnice
pro nanostruktury



Obsah

- 1) Motivace – nadhled nad pevnými látkami
- 2) Elektrony v pevné látce
 - 1) Fermiho plyn
 - 2) Pásová struktura, Fermiho hladina, hustota stavu
 - 3) Elektrony a díry v polovodičích
- 3) Aproximace efektivní hmotností
 - 1) Okrajové podmínky – kvantová restrikce
 - 2) Heterostruktury - kvantové jámy, dráty a tečky
 - 3) Realní hodnoty pro kvantové tečky
 - 4) Koloidní heterostruktury
- 4) Metoda Empirického pseudopotenciálu
 - 1) Základní principy
 - 2) Aplikace na CdSe a Si struktury
- 5) Složitejší přistupy k popisu pevné látky



Pevná látka

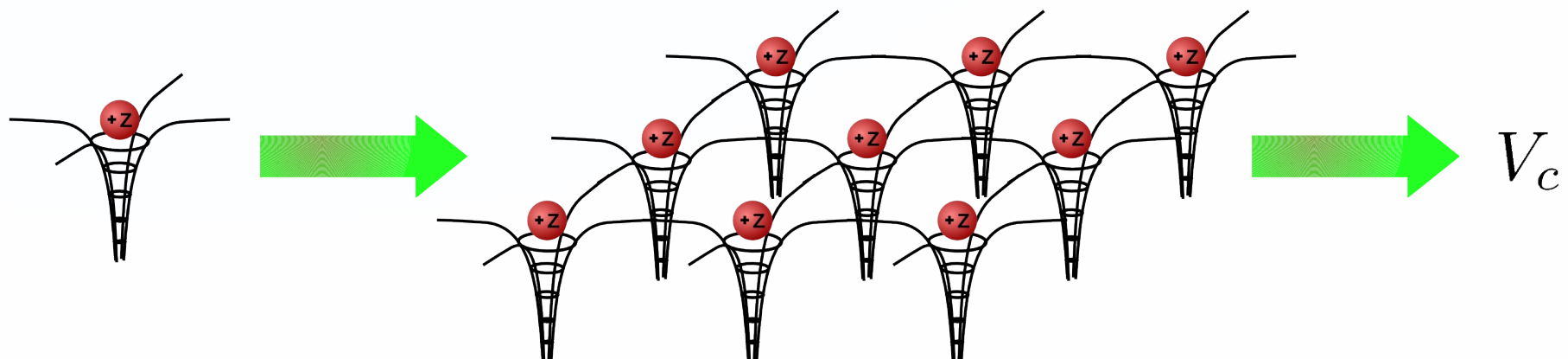
Pevná látka

Kladně nabité jádra

- bodové náboje
- uspořádané do krystalu
- tvoří **krystalový potenciál**

Elektrony

- pohybují se v potenciálu jader
- spůsobují, že pevná látka drží pohromadě – mechanizmy mohou být různé



Fermiho elektronový plyn

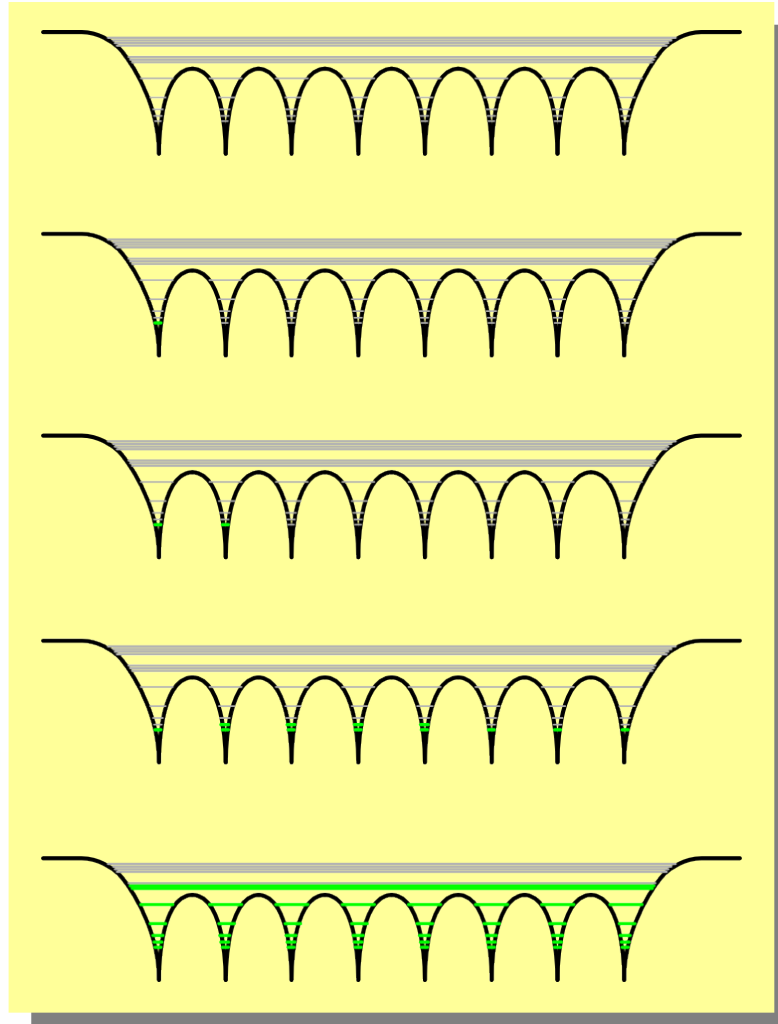
Elektrony

Fermiony – řídí se Pauliho vylučovacím principem

- vložíme-li do krystalového potenciálu jeden elektron, sedne si na nejnižší hladinu, další sedne na vyšší hladinu
- pevná látka obvykle neutrální

Fermiho hladina

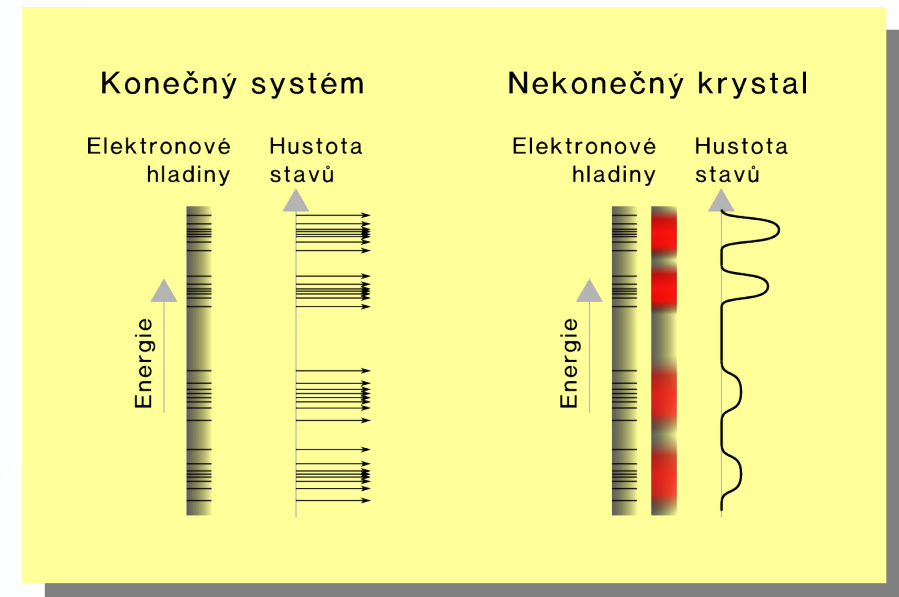
- v neutrální pevné látce je daný počet elektronů - N
- při absolutní nule obsazují N nejnižších hladin
- nejvyšší obsazená hladina – Fermiho hladina
- chemické, optické, tepelné vlastnosti dány elektrony v okolí Fermiho hladiny



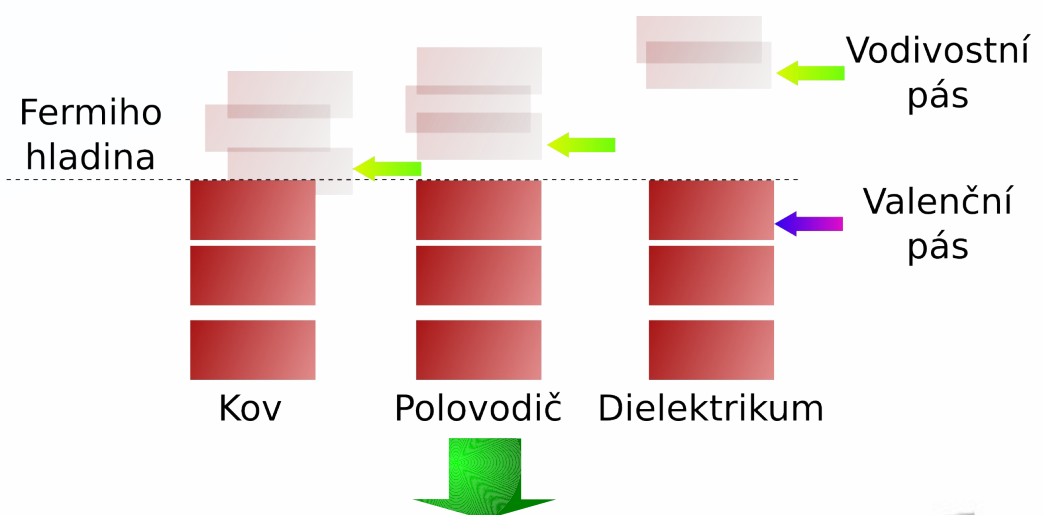
Fermiho elektrónový plyn

Hustota stavů

- konečný kus pevné látky obsahuje dané množství elektronových hladin na daných energiích
- půjdeme-li v limitě k nekonečně velkému krystalu, hladiny vytvoří rozdělení – **hustota stavů**



- elektronové hladiny v periodických krystalech se zhlukují da pásů
- spektrum krystalu je tvořeno systémem pásů
- okolí fermiho hladiny rozhoduje o charakteru pevné látky

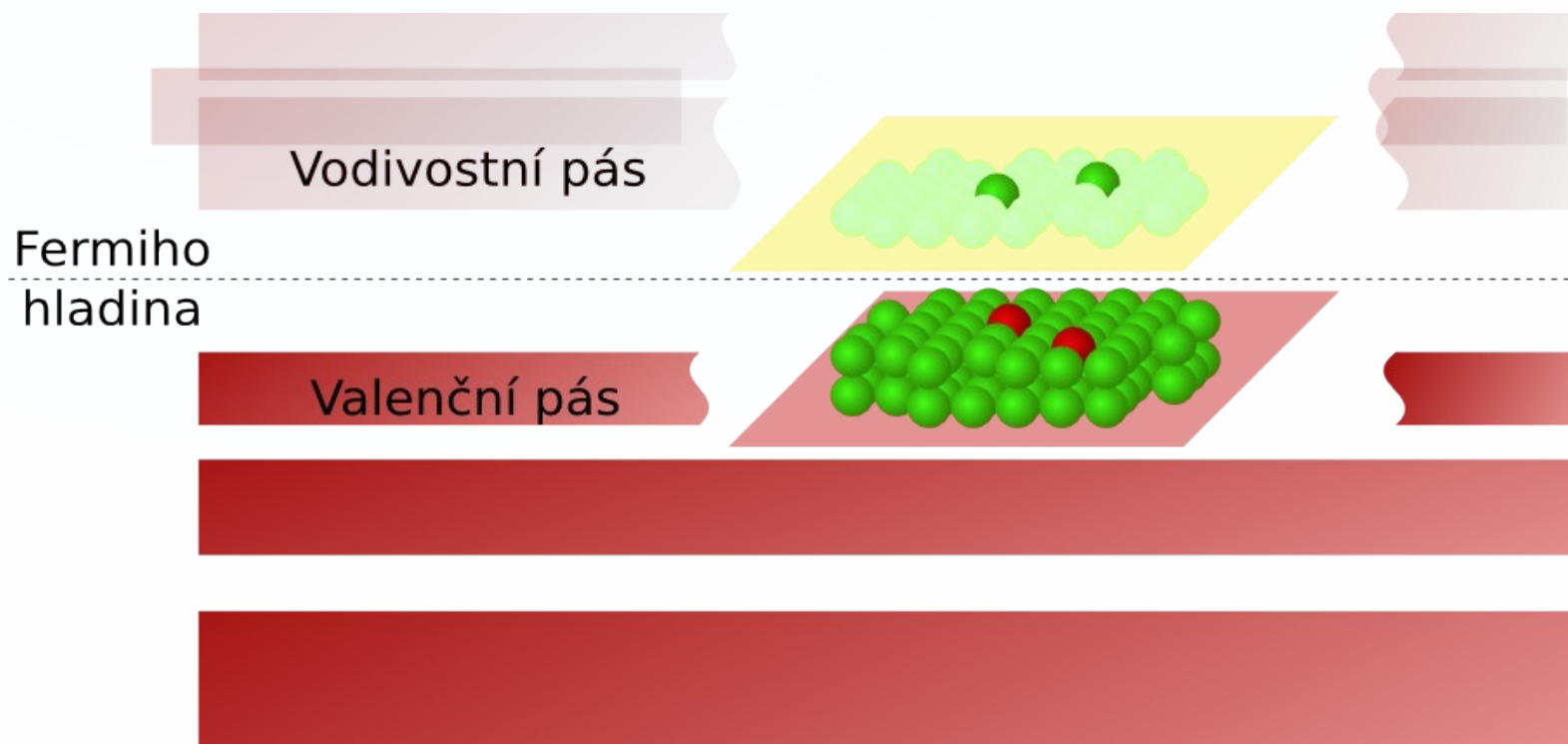


Předmět našeho zájmu

Elektrony a díry v polovodiči

Polovodič

- neobsahuje volné nosiče náboje – izolant
- elektron ve vodivostním pásu se může pohybovat – vodivost
- vakance ve valenčním pásu taky – kvazičástice - díra



Problém popisu

- pevná látka je obecně mnohočásticový systém, částice spolu navíc interagují
- problém je analyticky řešitelný pro jeden elektron
- numerické řešení funguje pro max. ~5 elektronů



$$\hat{H} = \hat{T}_e + \hat{T}_I + \hat{V}_{ee} + \hat{V}_{II} + \hat{V}_{eI}$$
$$\Psi = \Psi(\vec{R}_1, \vec{R}_2, \dots, \vec{R}_n, \vec{r}_1, \vec{r}_2, \dots, \vec{r}_m)$$

Born-Oppenheimerova approximace

- jádra jsou obecně mnohem těžší – kinetická energie zanedbatelná
- Born-Oppenheimerova approximace – polohy jader vstupují do problému pouze jako parametr
- vlnová funkce elektronu je stále **korelovaná** - příliš obecná – mnoho proměnných – neřešitelnost



$$\hat{H} = \hat{T}_e + \hat{V}_{ee} + \hat{V}_{eI}$$
$$\Psi = \Psi(\vec{r}_1, \vec{r}_2, \dots, \vec{r}_m)$$



Obecný popis pevné látky

- snaha převést problém do tvaru, aby vlnová funkce elektronu byla **nekorelovaná** – problém pak řešíme pro každý elektron zvlášť – jednočásticový problém



$$\hat{H} = \hat{T}_e + \hat{V}_{eI}$$

$$\Psi = \psi_1(\vec{r}_1) \cdot \psi_2(\vec{r}_2) \dots \psi_m(\vec{r}_m)$$



O čem vlastně budou následující dvě přednášky???

- obecný nadhled na to, co se děje v pevných látkách, zejména v polovodičích
- zaměříme se na nanostruktury – elektrony a díry již nejsou kuličky, ale musíme brát v potaz jejich vlnový charakter
- nebudeme zabíhat do matematických podrobností
- základní přistupy k řešení problému popisu elektronů v nanostrukturách – zejména numerickému
- ukázky výsledků



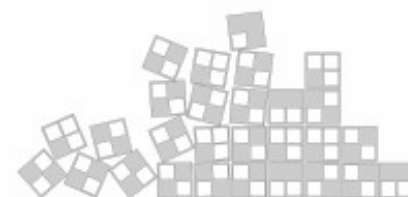
Elektrony a díry v polovodiči

- čistý polovodič za normálnych okolností neobsahuje volné nosiče náboje – izolant
- ve prázdném vodivostním pásu však mohou existovat elektrony, které vedou proud (proto vodivostní pás)
- podobně, v plném valenčním pásu mohou existovat vakance – díry – které se mohou pohybovat (podobná situace jako bublinky v pivu)



Obsah

- 1) Motivace – nadhled nad pevnými látkami
- 2) Elektrony v pevné látce
 - 1) Fermiho plyn
 - 2) Pásová struktura, Fermiho hladina, hustota stavu
 - 3) Elektrony a díry v polovodičích
- 3) Aproximace efektivní hmotnosti**
 - 1) Okrajové podmínky – kvantová restrikce
 - 2) Heterostruktury - kvantové jámy, dráty a tečky
 - 3) Realní hodnoty pro kvantové tečky
 - 4) Koloidní heterostruktury
- 4) Metoda Empirického pseudopotenciálu
 - 1) Základní principy
 - 2) Aplikace na CdSe a Si struktury
- 5) Složitejší přistupy k popisu pevné látky

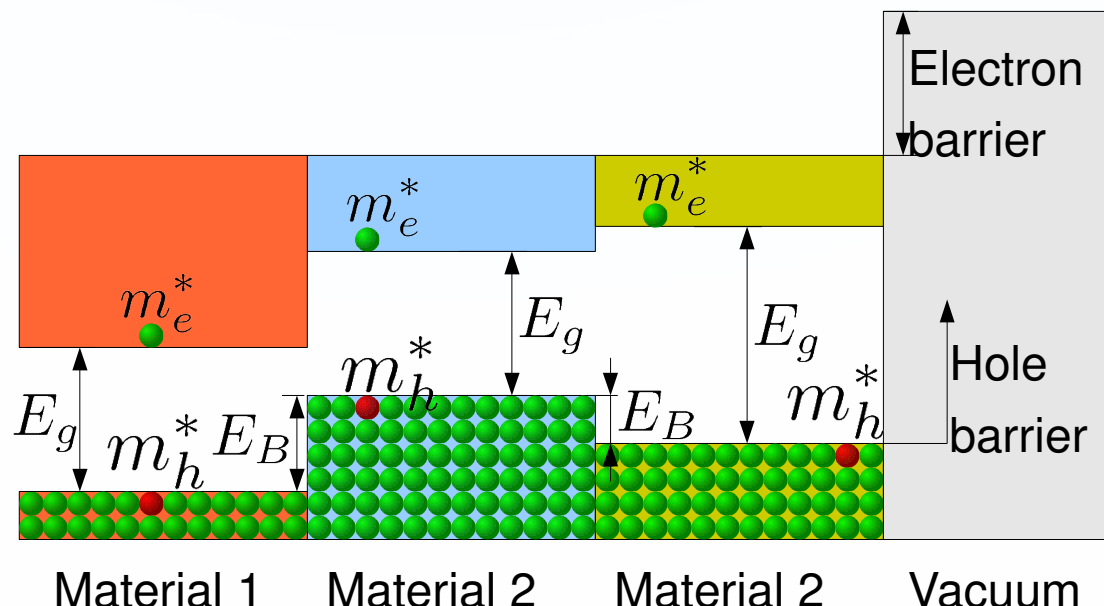


Aproximace efektivní hmotnosti

- elektrony v pevné látce – složitý problém
- polovodič – v základním stavu – valenční pás obsazený – vodivostní pás prázdný
- zajímají nás jenom odchylky od základního stavu – excitace
- elektrony a díry
- za jistých předpokladu je lze popisovat jako volné částice, které mají náboj a coulombicky spolu mohou interagovat – popisu odpovídá Schrödingerova rovnice

$$-\frac{\hbar^2}{2m^*} \nabla^2 \psi = E\psi$$

- jako volná částice – hmotnost elektronu je nahrazena tzv. efektivní hmotností



Aproximace efektivní hmotnosti

Efektivní hmotnost

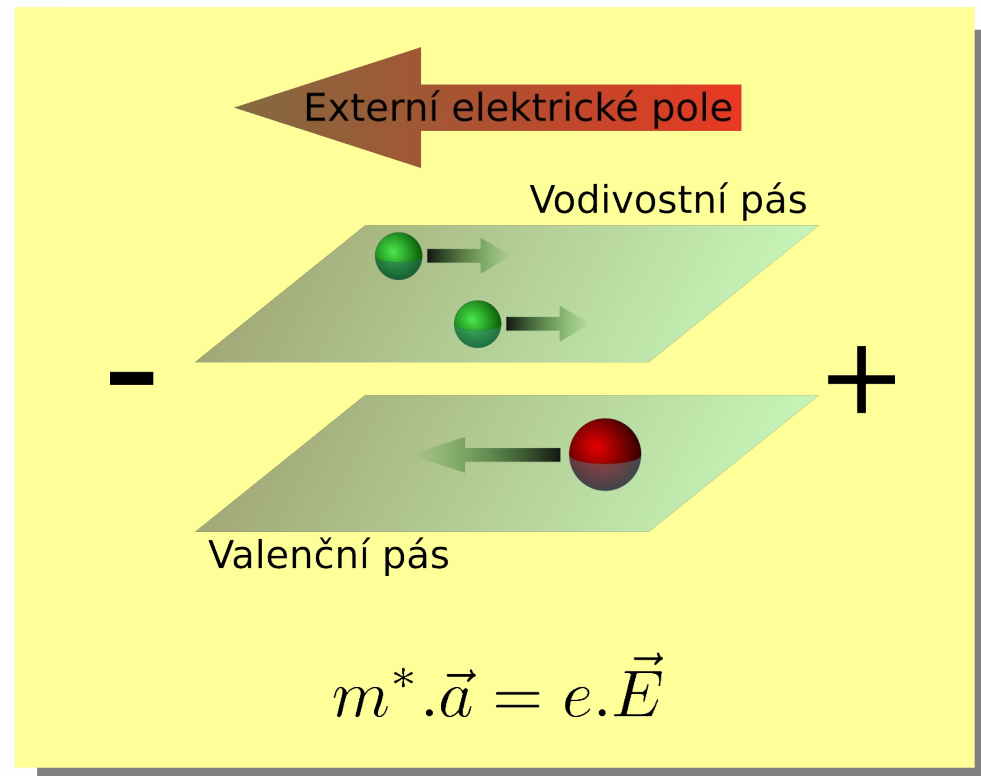
- závisí na **materiálu, elektron/díra**
- udáva zrychlení nosiče náboje v elektrickém poli
- vzniká difrakcí nosiče náboje na krystalové mřížce

Coulombická interakce

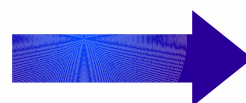
- elektrony a díry spolu Coulombicky interagují

$$E_{coul.} = \pm \frac{1}{4\pi\epsilon_r\epsilon_0} \frac{e^2}{|\vec{r}|}$$

ϵ_r - relativní permitivita prostředí



Vázaný stav -
Exciton



Kvantové jámy

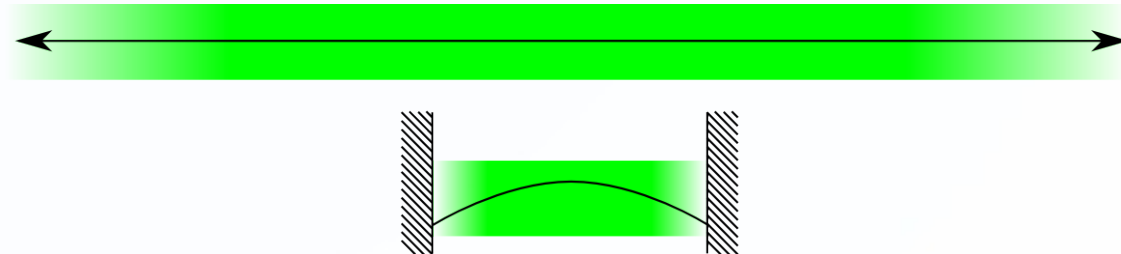
- spektra známých potencialu

Coulombicky, kvadraticky, nekonecna jama, konecna jama



Princip kvantové restrikce

- v pevné látce odpovídají jsou elektrony v delokalizovaných stavech, jejich vlnové funkce jsou nekonečné
- jestliže je ale krystal konečný, na jeho okraji musí vlnové funkce vymyzet – okrajové podmínky
- okrajové podmínky vnesou



Nekonečná potenciálová jáma

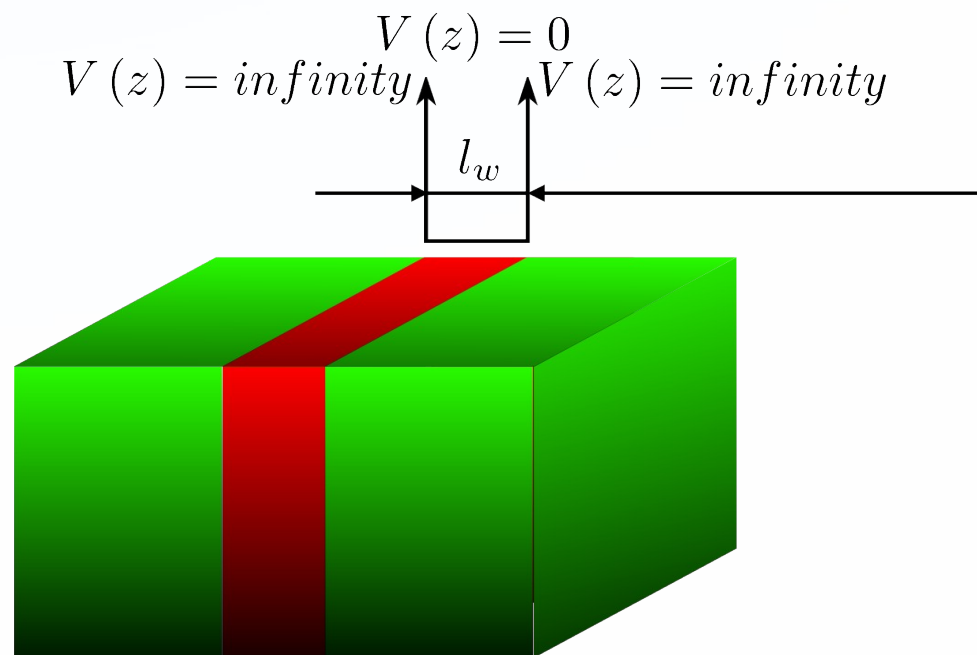
Částice v nekonečné potenciálové jámě je popsána Schrodingerovou rovnicí:

$$\frac{\hbar^2}{2m} \left(\frac{\partial^2}{\partial x^2} + \frac{\partial^2}{\partial y^2} + \frac{\partial^2}{\partial z^2} \right) \psi + V(x, y, z) \psi = E\psi \quad V(x, y, z) = V(z) \quad \psi = \psi_{x,y} \cdot \psi_z$$

Separací proměnných lze rovnici přepsat na dvě nezávislé:

$$\frac{\hbar^2}{2m} \frac{\partial^2}{\partial z^2} \psi_z + V(z) \psi_z = E\psi \quad \frac{\hbar^2}{2m} \left(\frac{\partial^2}{\partial x^2} + \frac{\partial^2}{\partial y^2} \right) \psi_{x,y} = E\psi_{x,y}$$

Analogie kovového vlnovodu – nulové okrajové podmínky na okraji jámy



Nekonečná potenciálová jáma

$$\frac{\hbar^2}{2m} \left(\frac{\partial^2}{\partial x^2} + \frac{\partial^2}{\partial y^2} + \frac{\partial^2}{\partial z^2} \right) \psi + V(x, y, z) \psi = E\psi$$

$$\psi = \psi_{x,y} \cdot \psi_z$$

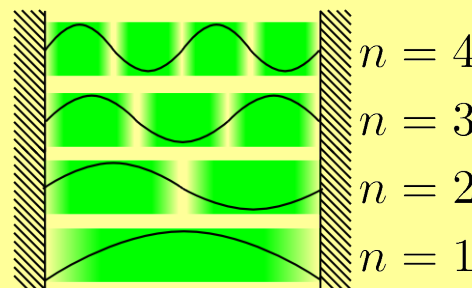
Separací proměnných lze rovnici přepsat na dvě nezávislé

Směr kolmý na jámu:

$$\frac{\hbar^2}{2m} \frac{\partial^2}{\partial z^2} \psi_z + V(z) \psi_z = E\psi$$

$$\psi_z = A \frac{\hbar^2 k_z^2}{2m} \sin(k_z z)$$

$$k_z = \frac{\pi n}{l_w} \quad n \in \mathbb{N}$$



V rovině jámy:

$$\frac{\hbar^2}{2m} \left(\frac{\partial^2}{\partial x^2} + \frac{\partial^2}{\partial y^2} \right) \psi_{x,y} = E\psi_{x,y}$$

$$\psi_{x,y} = \frac{1}{A} \exp(i(k_x x + k_y y))$$

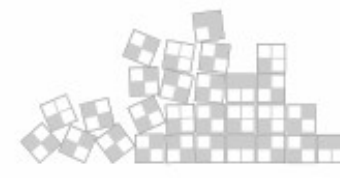
$$k_x, k_y \in \mathbb{R}$$

Celková energie vlastního stavu pak je

$$E = \frac{\hbar^2 \pi^2 n^2}{2ml_w^2} + \frac{\hbar^2 |k_{x,y}|^2}{2m}$$

Energie pasu roste s kvadrátem n

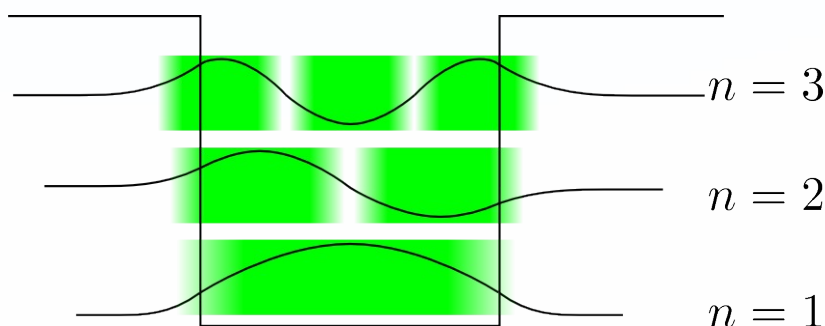
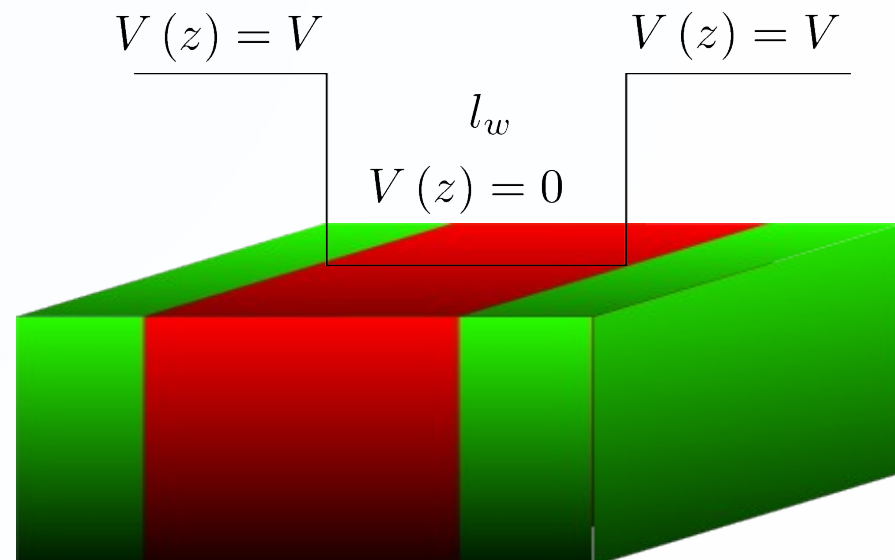
$$\psi(x, y, z) = 0$$



Konečná potenciálová jáma

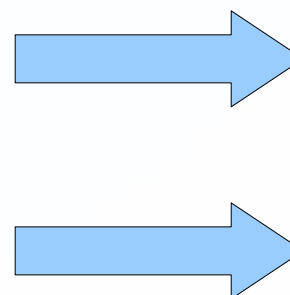
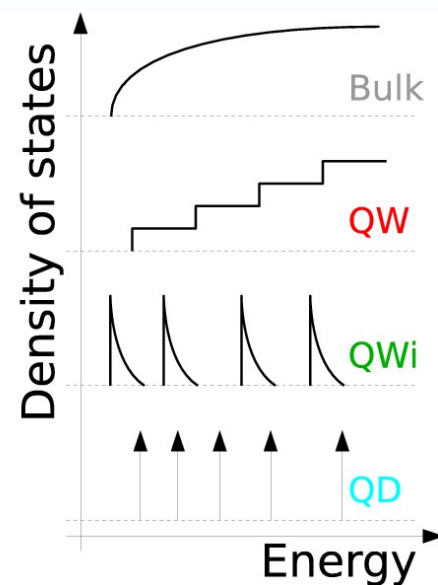
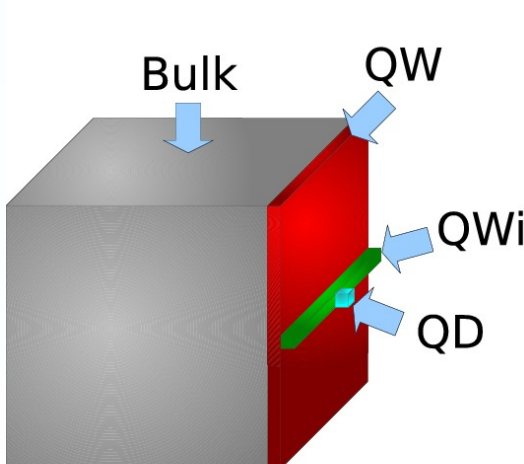
Částice v konečné potenciálové jámě je popsána Schrodingerovou rovnicí:

$$\frac{\hbar^2}{2m} \left(\frac{\partial^2}{\partial x^2} + \frac{\partial^2}{\partial y^2} + \frac{\partial^2}{\partial z^2} \right) \psi + V(x, y, z) \psi = E\psi \quad V(x, y, z) = V(z) \quad \psi = \psi_x \cdot \psi_y \cdot \psi_z$$



Hustota stavů v nanostrukturách

- podle počtu dimenzií, které jsou omezeny
- **kvantové jámy, dráty a tečky**
- charakteristický vliv na hustotu stavů



Zajímají nás
hlavně kvantové
tečky

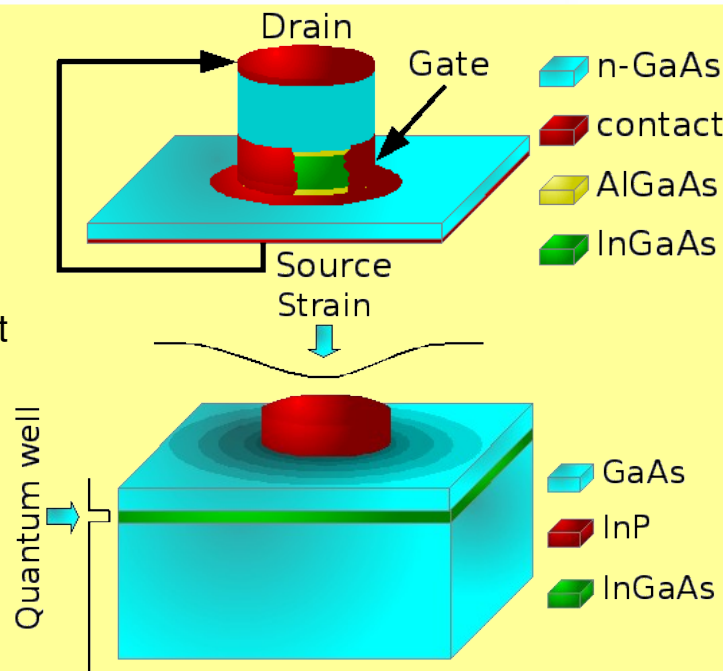


Různé typy kvantových teček

Litografické techniky

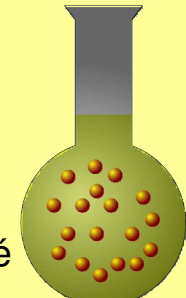
Použijeme planární strukturu, obvykle kvnatovou jámu a litograficky vytvoříme omezení ve směru roviny substrátu.

Obecně mužeme vytváret složit



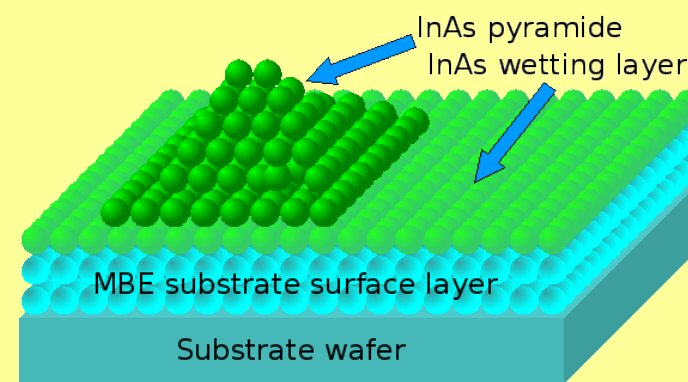
Mokrá chemická cesta

Tuto cestou připravujeme nanokrystaly v roztoku, obvykle sférický tvar, je ale možno připravovat i exotické tvary jako tyčky, jehly, čtyřstěny, čtyřnožky atd.

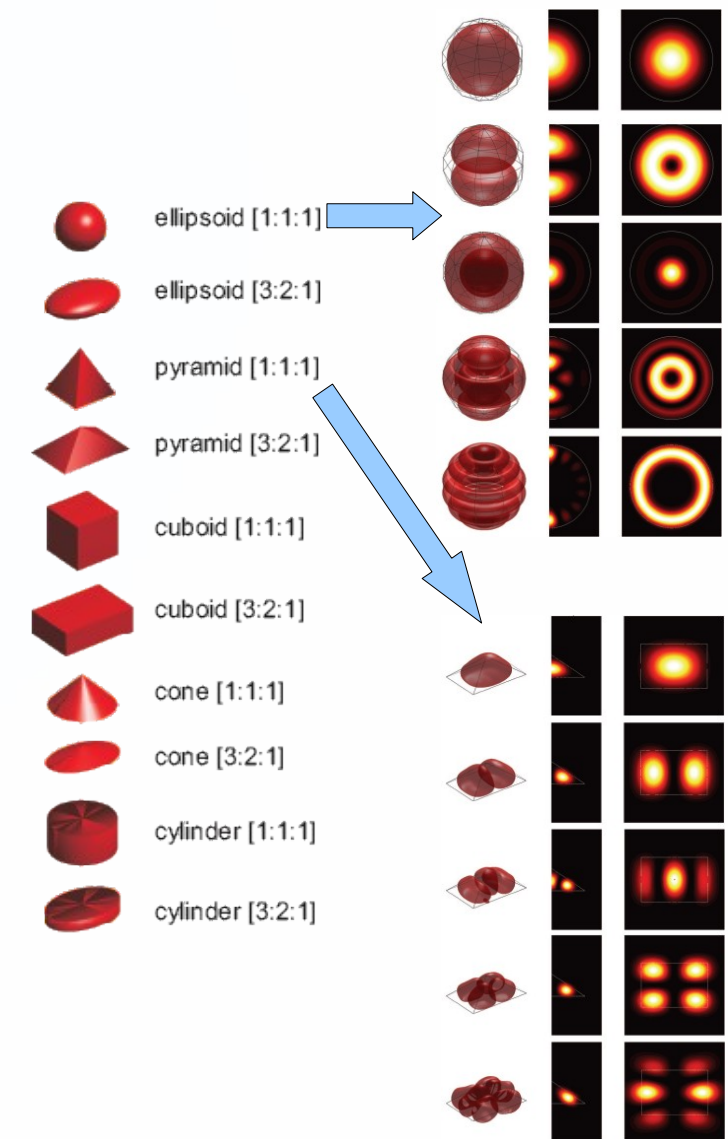
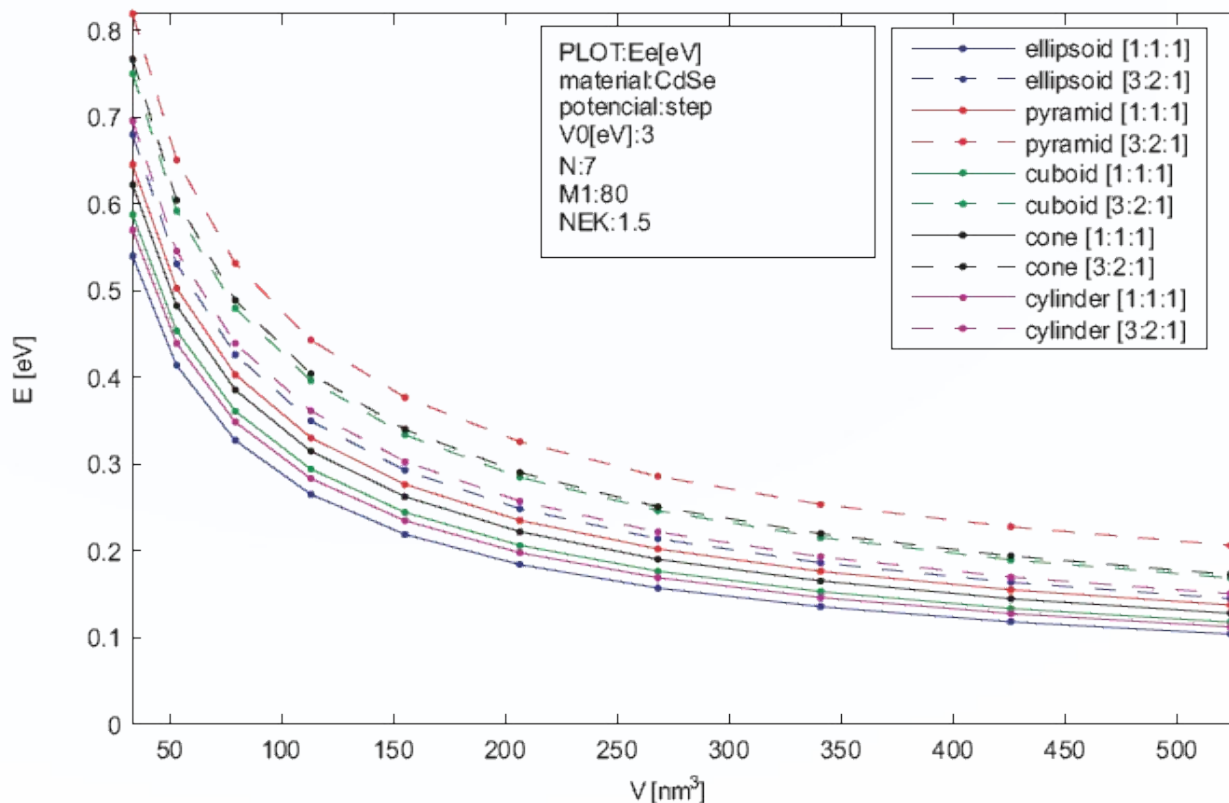


Samoorganizace

Při epitaxním rustu muže docházet k vzniku nestabilit, které se projeví vznikem ostruvku. Ovykly pyramidální nebo čočkovitý tvar.

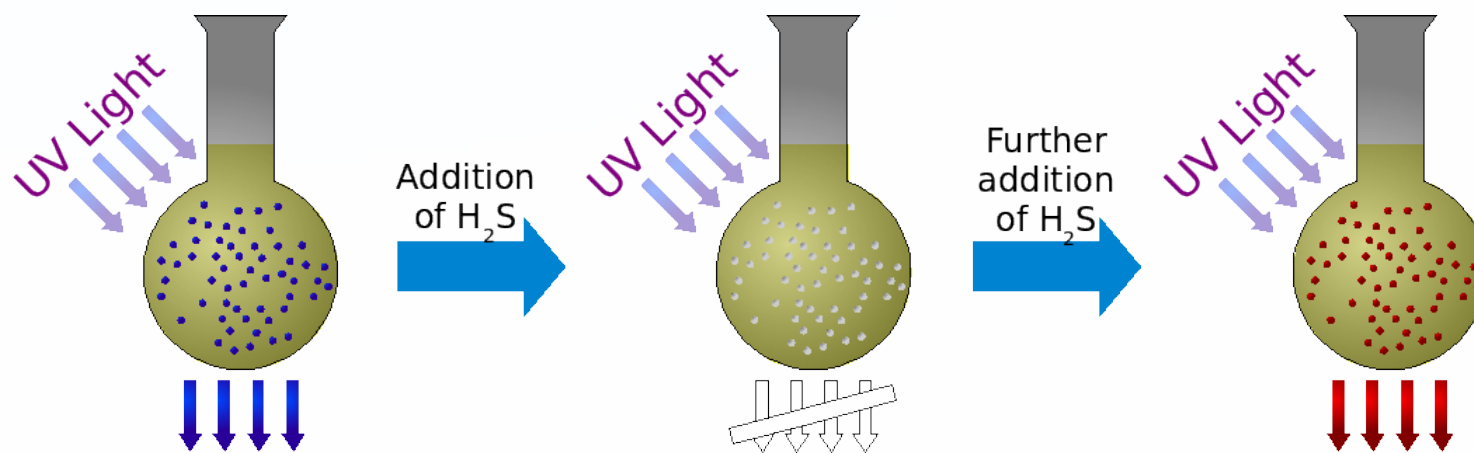


Reálné hodnoty pro kvantové tečky



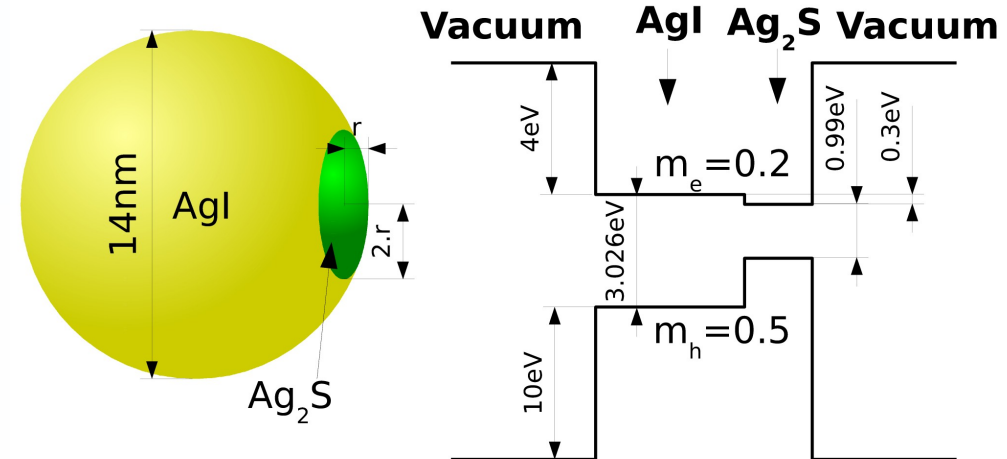
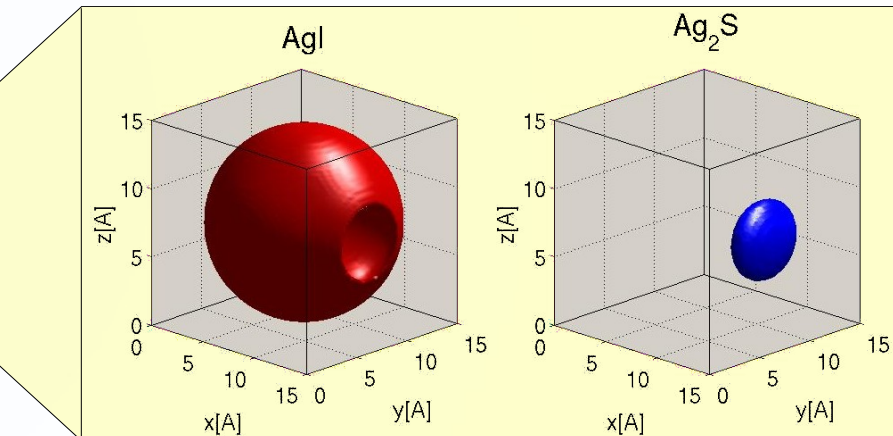
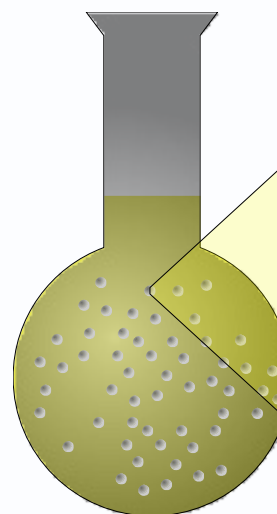
Aproximace efektivní hmotnosti

- byla měřena luminiscence nanokrystalu AgI v roztoku
- krystaly vykazovali luminiscenci v oblasti kolem 400nm
- přidáním malé koncentrace síry do roztoku luminiscence zhasla
- při zvyšovaní koncentrace se objevila luminiscence kolem 900nm a postupně se posouvala k delším vlnovým délkatm

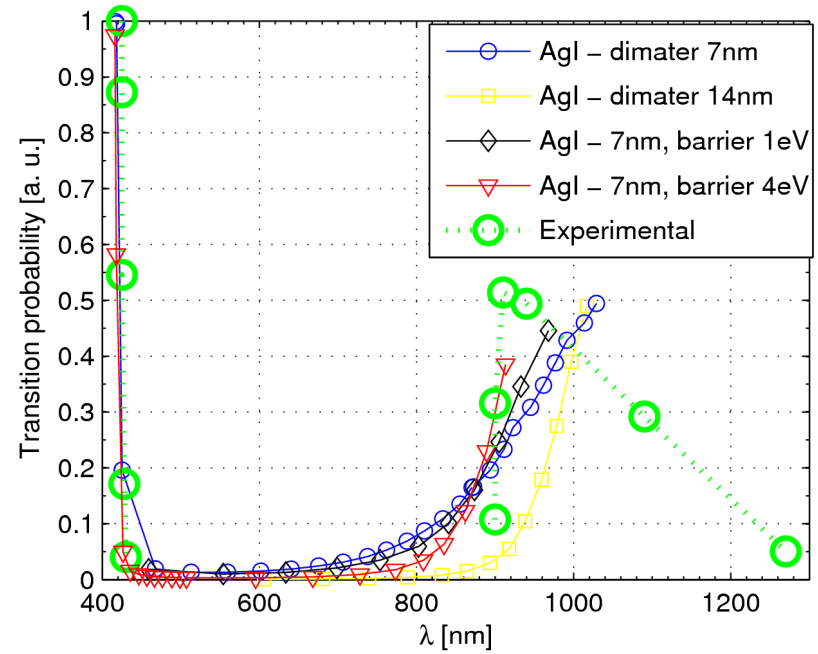
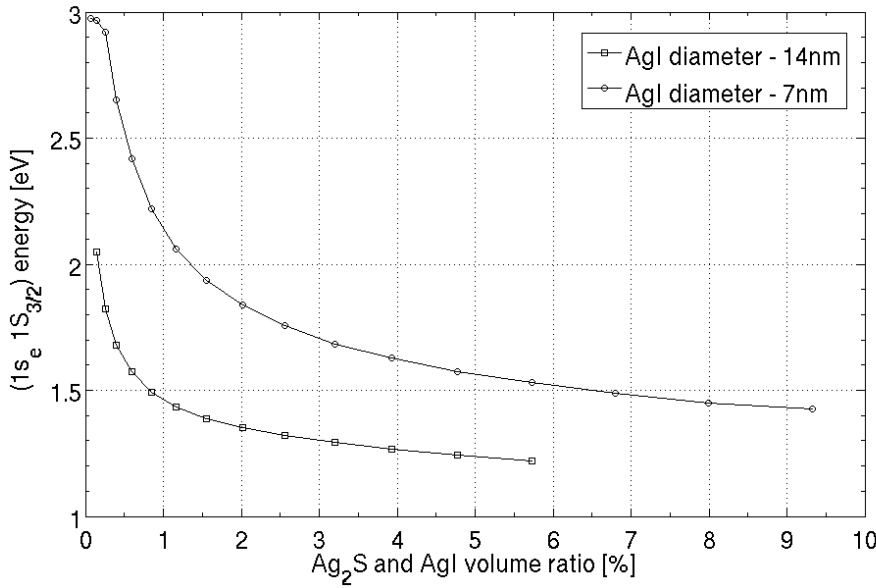
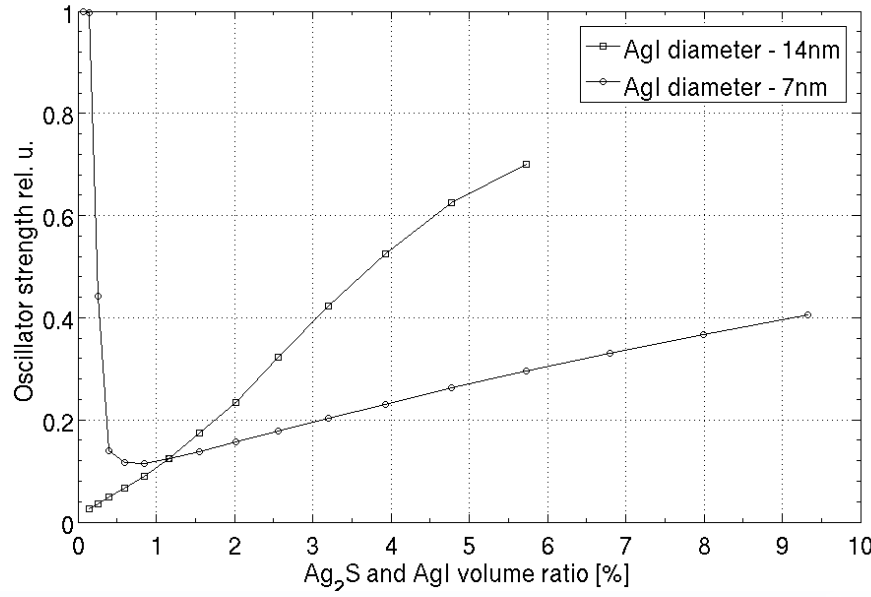


Aproximace efektivní hmotnosti

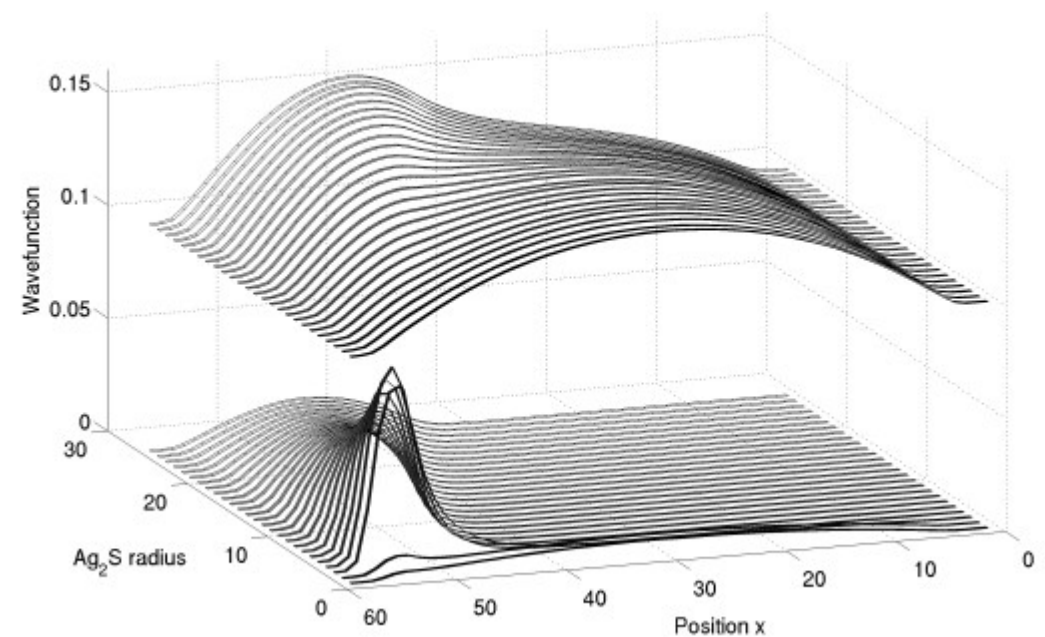
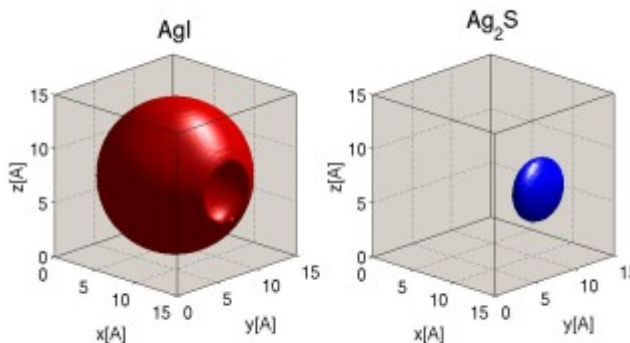
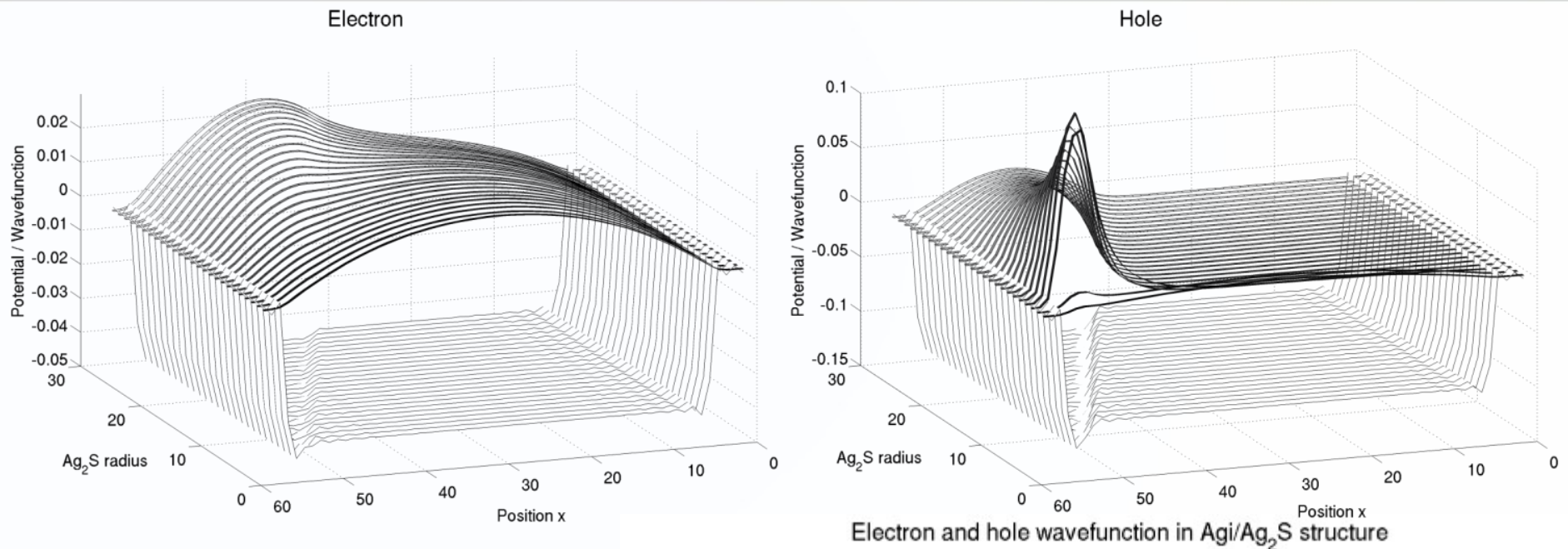
- VYSVĚTLENÍ: přidávaní síry vedlo k vzniku ostruvku sulfidu, v které fungovali jako pasti pro elektrony



Aproximace efektivní hmotnosti

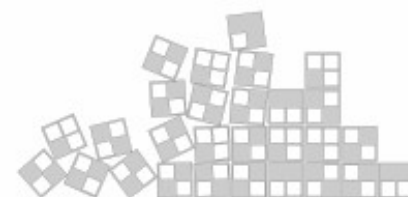


Separace náboje v heterostrukturě AgI/Ag₂S



Obsah

- 1) Motivace – nadhled nad pevnými látkami
- 2) Elektrony v pevné látce
 - 1) Fermiho plyn
 - 2) Pásová struktura, Fermiho hladina, hustota stavu
 - 3) Elektrony a díry v polovodičích
- 3) Aproximace efektivní hmotností
 - 1) Okrajové podmínky – kvantová restrikce
 - 2) Heterostruktury - kvantové jámy, dráty a tečky
 - 3) Realní hodnoty pro kvantové tečky
 - 4) Koloidní heterostruktury
- 4) **Metoda Empirického pseudopotenciálu**
 - 1) Základní principy
 - 2) Aplikace na CdSe a Si struktury
- 5) Složitejší přistupy k popisu pevné látky



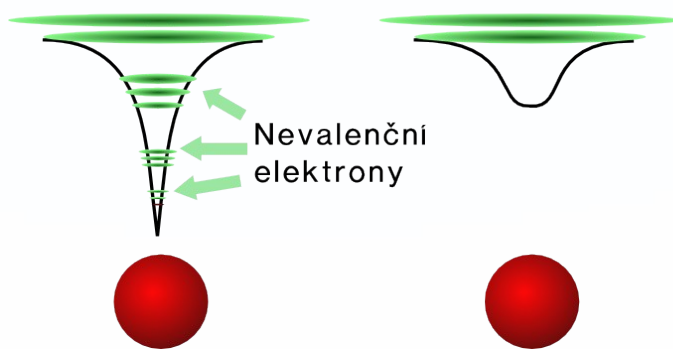
- vycházíme z obecného tvaru Hamiltonianu v Born-Oppenheimerově approximaci
- chceme odstranit interakční člen
- využijeme dva fakty

$$\hat{H} = \hat{T}_e + \hat{V}_{ee} + \hat{V}_{eI}$$

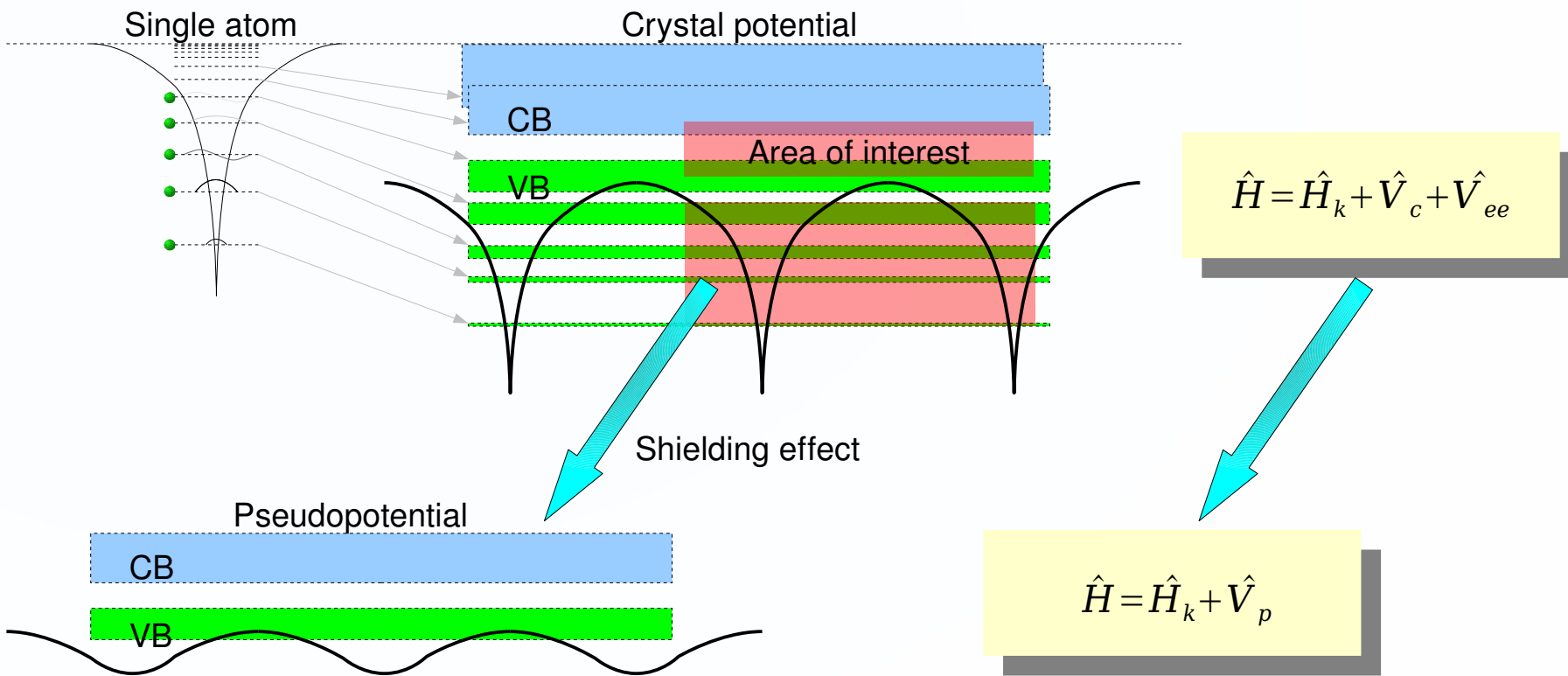
$$\Psi = \Psi(\vec{r}_1, \vec{r}_2, \dots, \vec{r}_m)$$

Do meziatomární interakce vstupují jen valenční elektrony – nevalenční vrstvy jsou prakticky nezměněny – nevalenční elektrony vytvářejí potencial, vyhlazují Coulombický potenciál jader, tento jejich vliv mužeme zahrnout do nevalenčního

Valenční elektrony také vytvářejí potenciál, v kterém se sami pohybují – tento potenciál taky zahrneme do krystalového potenciálu – dále ho vyhledáme a zároveň se zbavíme mezielektronové interakce



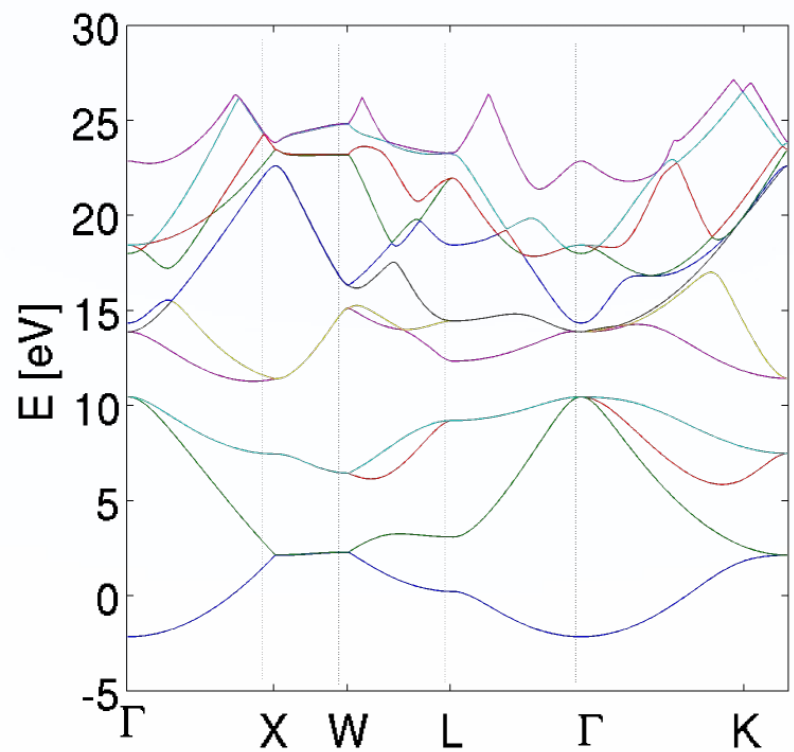
- metoda byla původně použita pro popis pásové struktury nekonečných krystalů



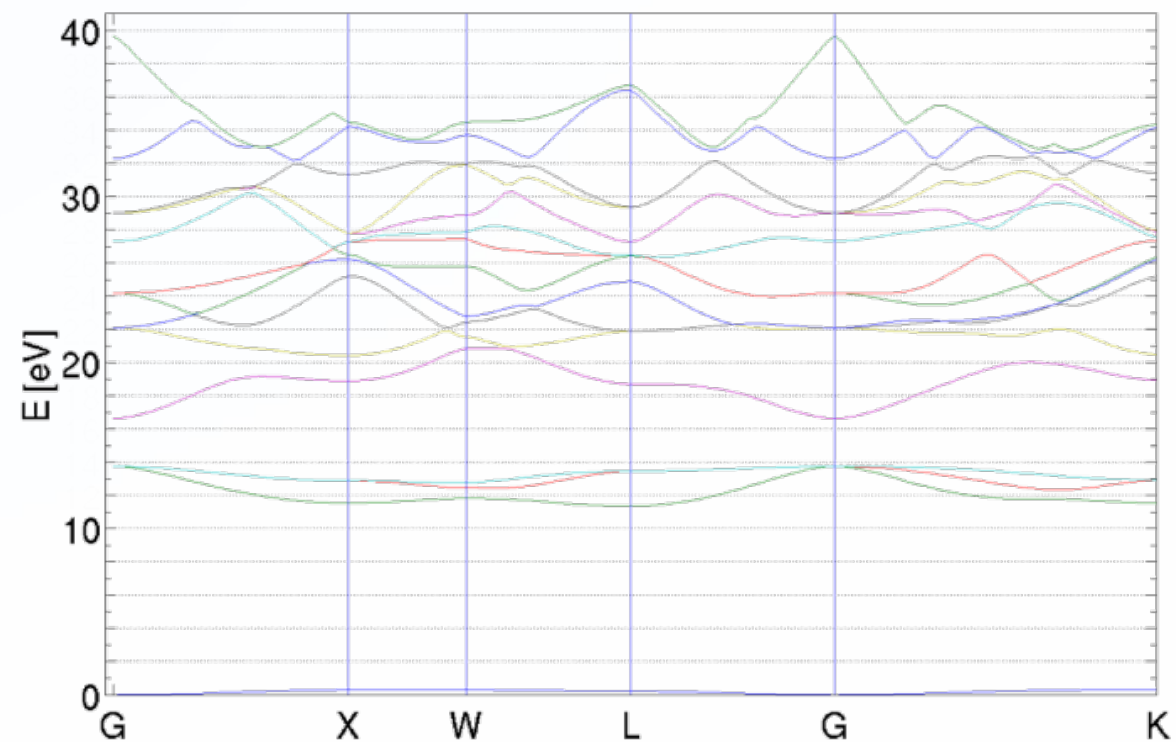
- Hamiltonian s krystalovým potenciálem a s interakčním členem se zredukuje na jednočásticový tvar
- Periodicitu mřížky umožňuje přejít při řešení k fourierově koeficientum – maticový problém
- při volbě pseudopotenciálu existuje jistá volnost – umožňuje volit pseudopotenciál hladký
- k popisu běžných polovodičů stačí 3/6 reálných koeficientu a dostáváme velmi dobrou shodu s reálnou pásovou strukturou



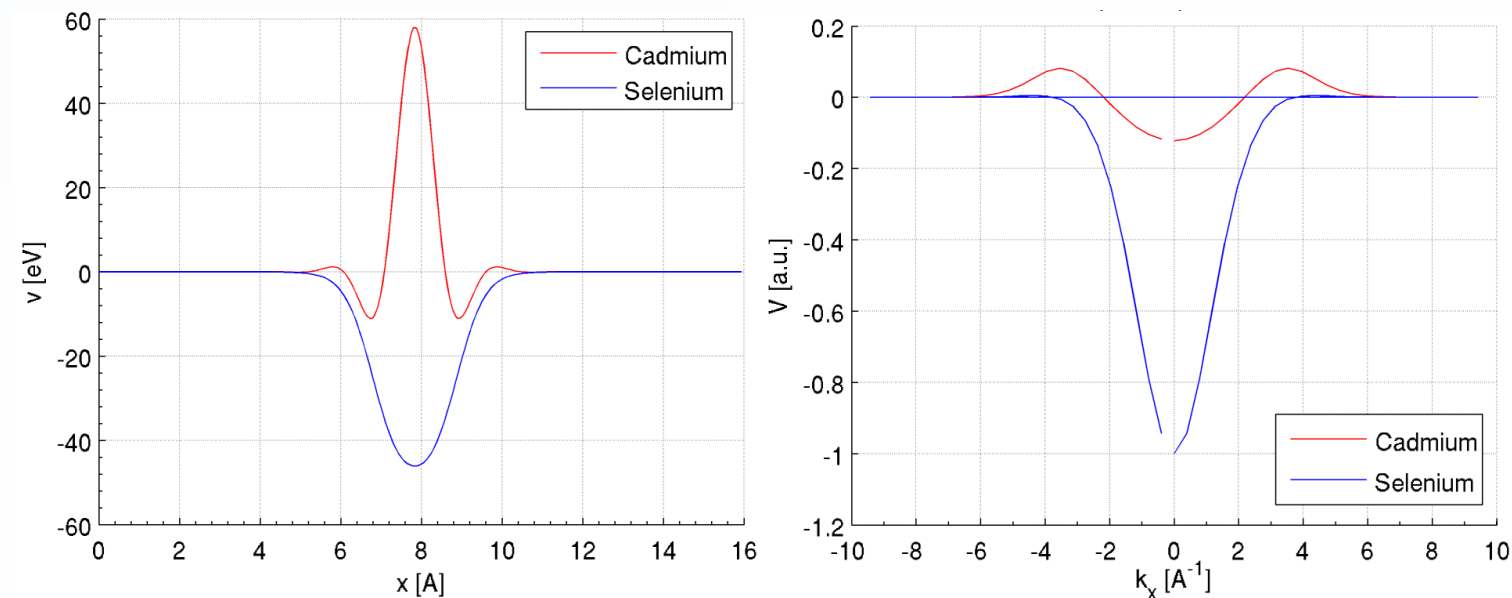
• pásová struktura křemíku



• pásová struktura CdSe

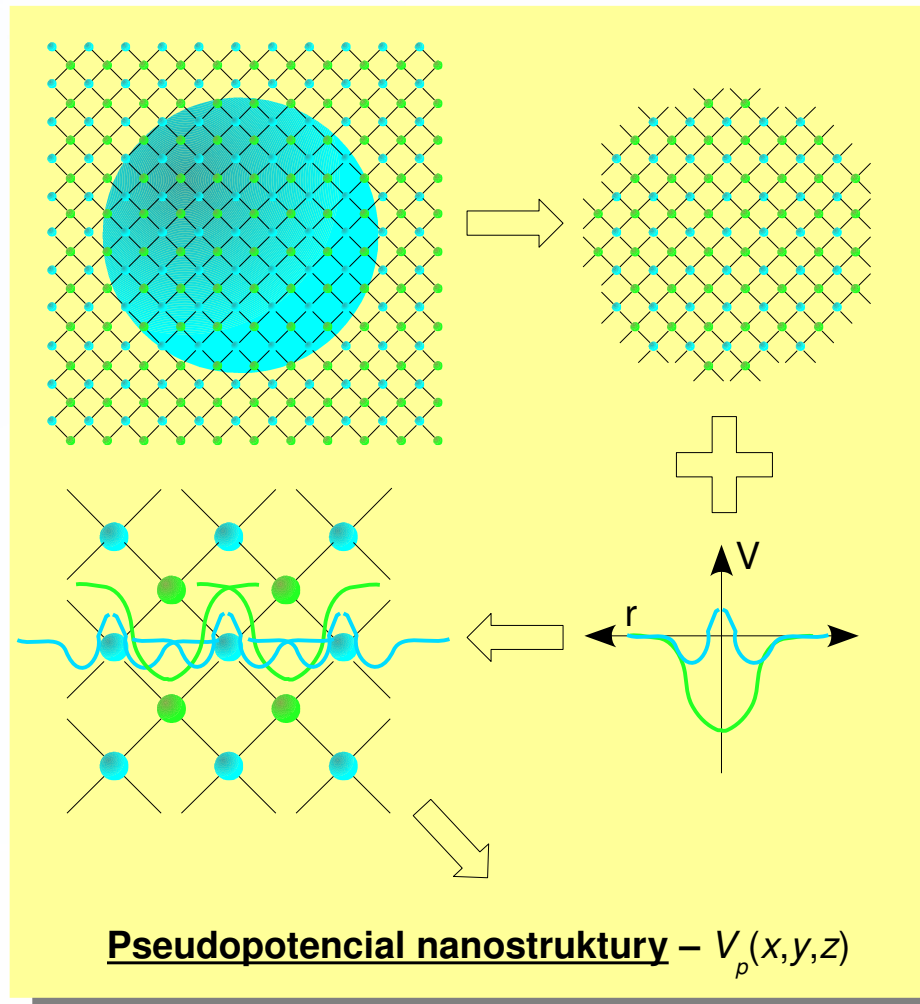


- v 80. letech vznikla myšlenka, že by se tato metoda mohla použít na neperiodické struktury – nanočástice
- nyní už nemůžeme pseudopotenciál rozvíjet do fourierovi řady, ale potřebujeme znát jeho tvar pro samostatný atom
- tvar získáme fitováním

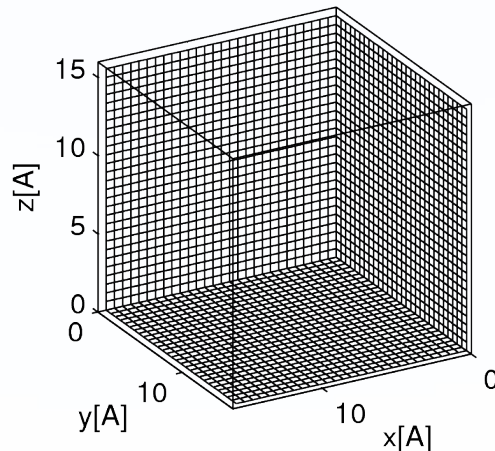


- 1) **polohy jader** – na základe bulkového krystalu
- 2) **Coulombický potenciál jadier** ->
pseudopotencial - do každého jadra umiestnime pseudopotenciál daného prvku – súčet = celkový pseudopotencial
 - obsahuje už pole vytvorené elektrónmi
 - nemusíme explicitne riešiť interakciu elektrónov – jednočasticový problém

- 3) **riešime pohyb elektrónov** - Schrodingerova rovnica – elektrónové hladiny



- výpočet prebieha v boxe v tvare kocky
- implicitne používame bázu rovinných vín (napr. $31 \times 31 \times 31$ vín)
- vlastné hodnoty hľadáme pomocou iteratívneho algoritmu, používame funkciu *eigs*, ktorá je štandardnou súčasťou Matlabu – v každom kroku potrebujeme počítať akciu hamiltonianu



1) Definujeme nanoštruktúru



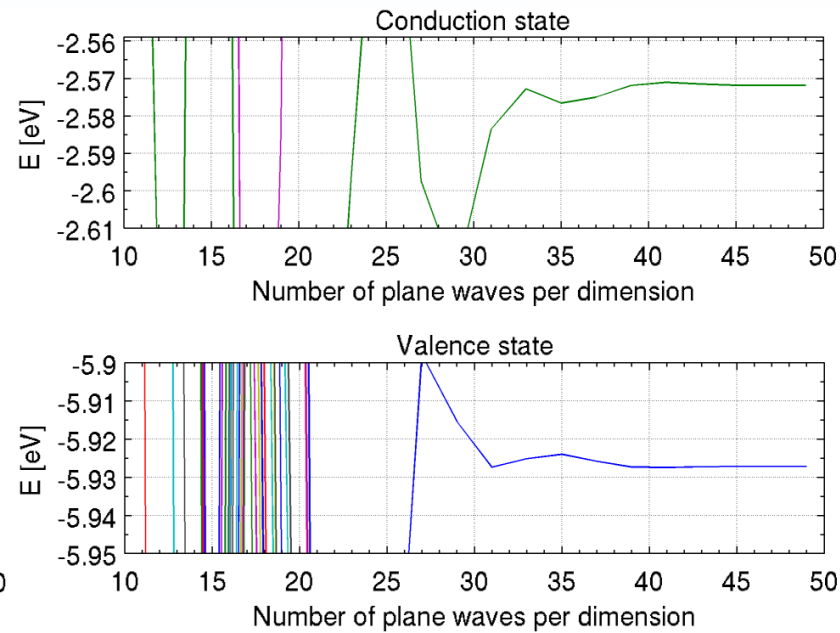
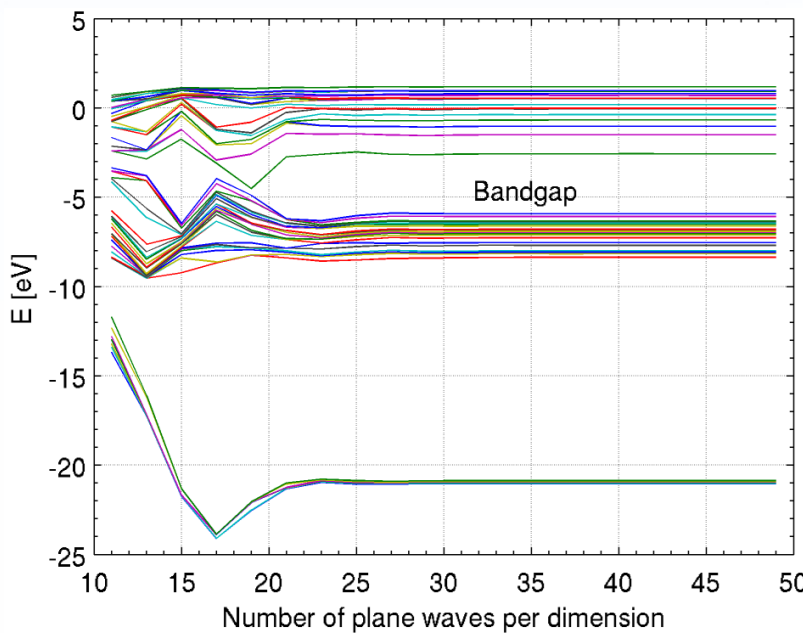
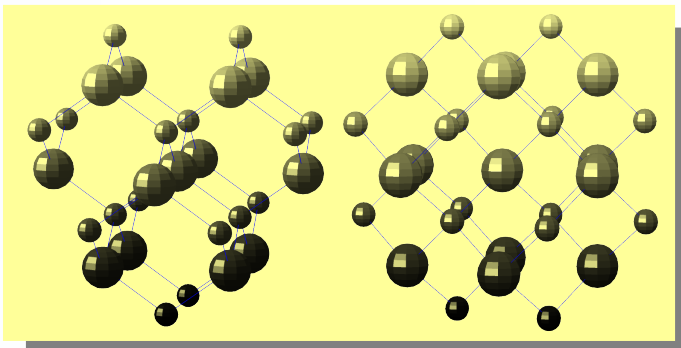
2) Riešime elektrónové spektrum štruktúry



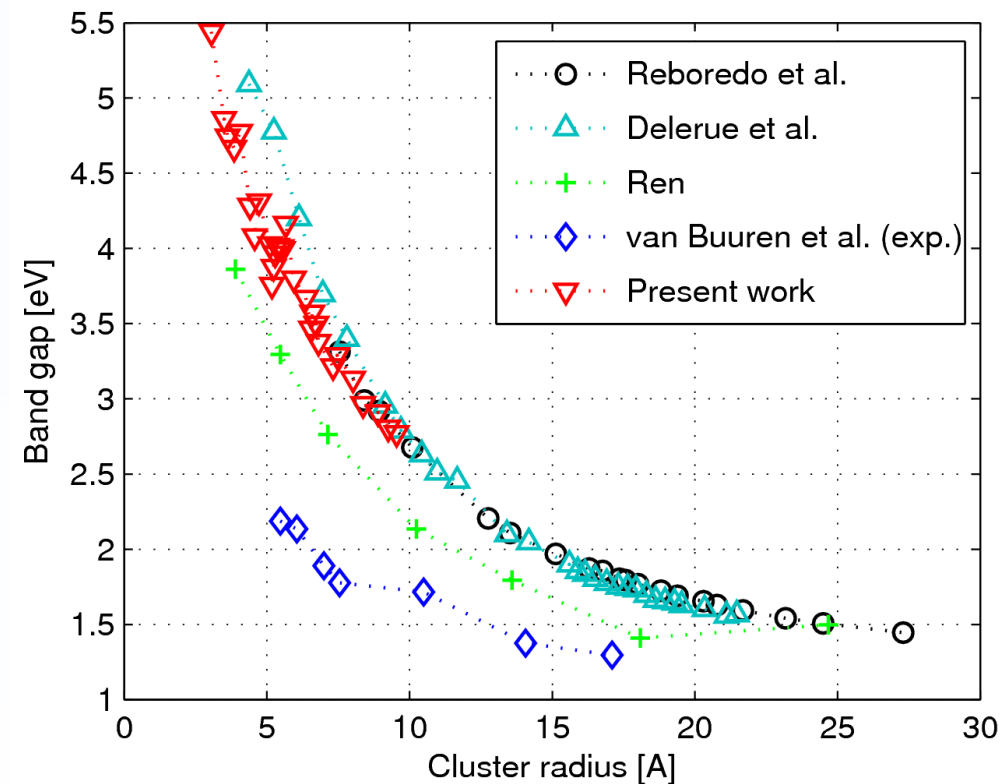
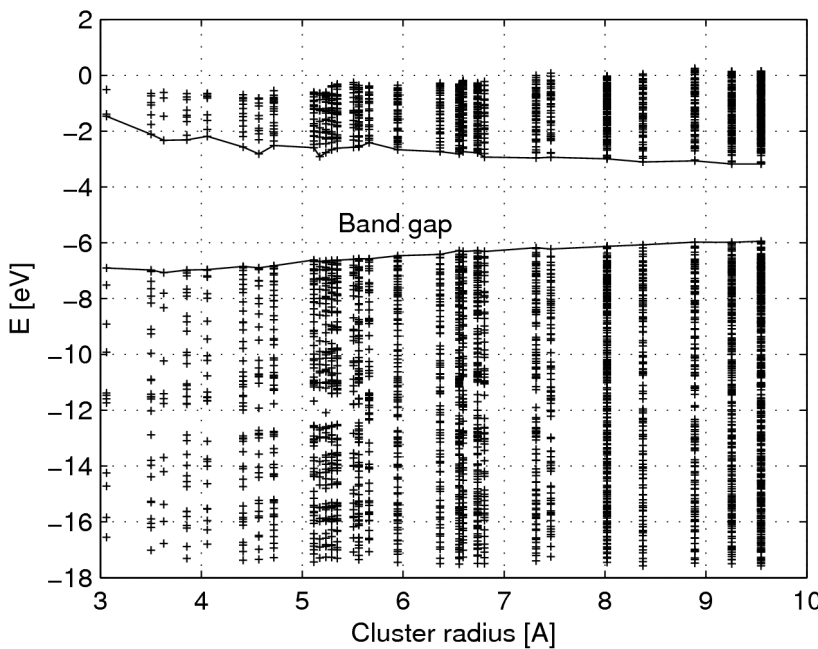
3) Počítame hodnoty pozorovateľných



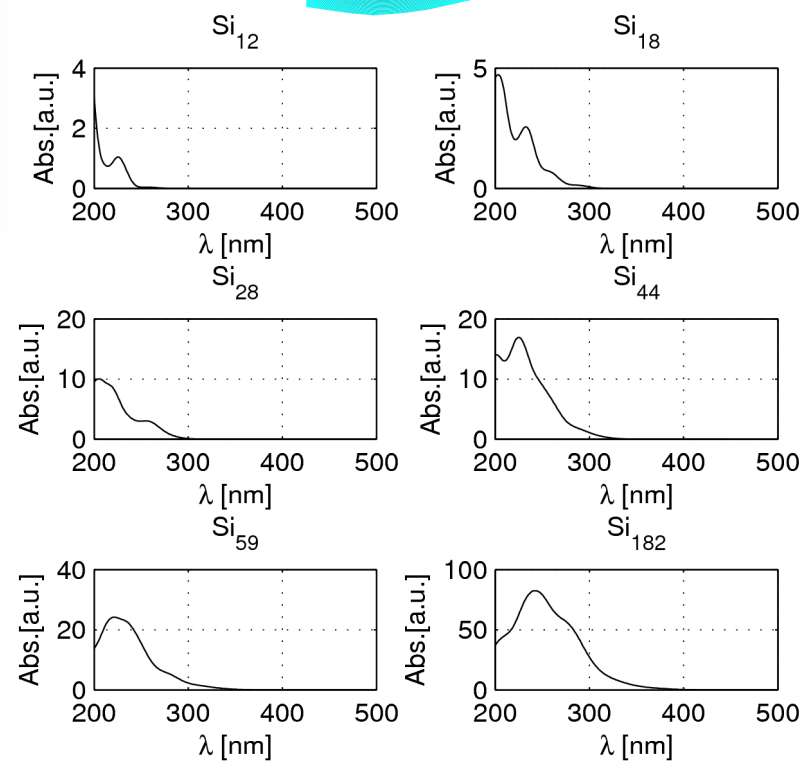
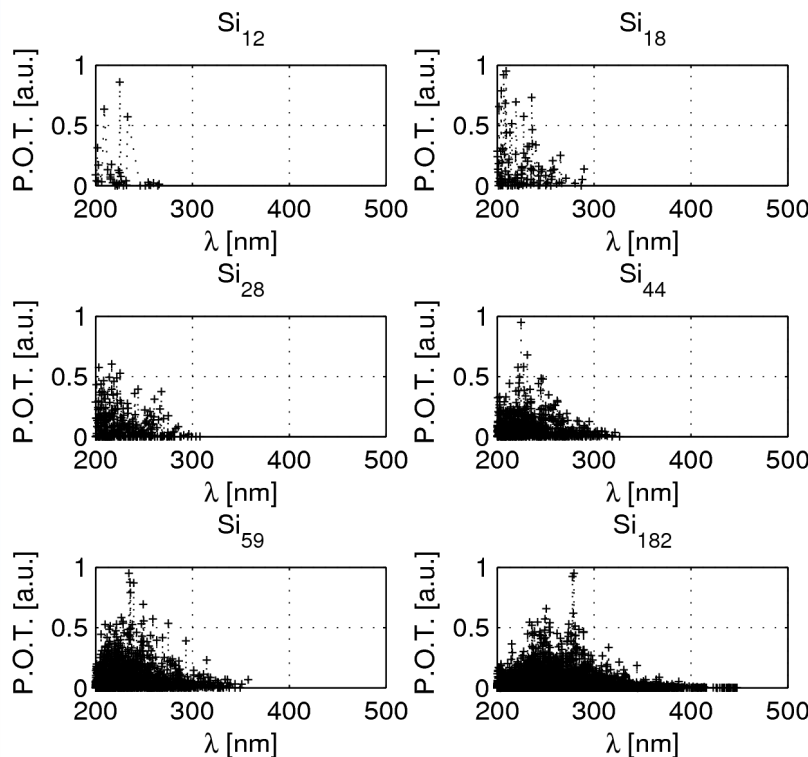
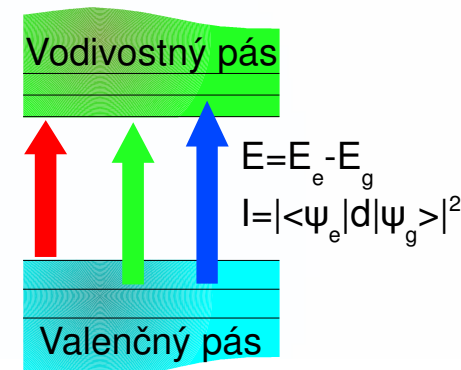
- počítali sme spektrum klastra $\text{Cd}_{13}\text{Se}_{16}$
- postupne sme zvyšovali počet bazických rovinných vín
- asi pri $31 \times 31 \times 31$ rovinných vlnách sme dosiahli konvergenciu – fluktuácie klesli pod 0.01eV



- základná otázka – ako závisí band-gap na veľkosti
- naše výpočty sme porovnali s prácami iných autorov – práca Reboredo et al. je najrelevantnejšia, pretože používa taktiež EPM – dobrá zhoda
- ostatné práce – TR modely



- optické vlastnosti – prechody z valenčného do vodivostného pásu
- absorbcia – nehomogénne rozšírenie vplyvom nemonodisperzity vzorku – gaussovský rozšírenie

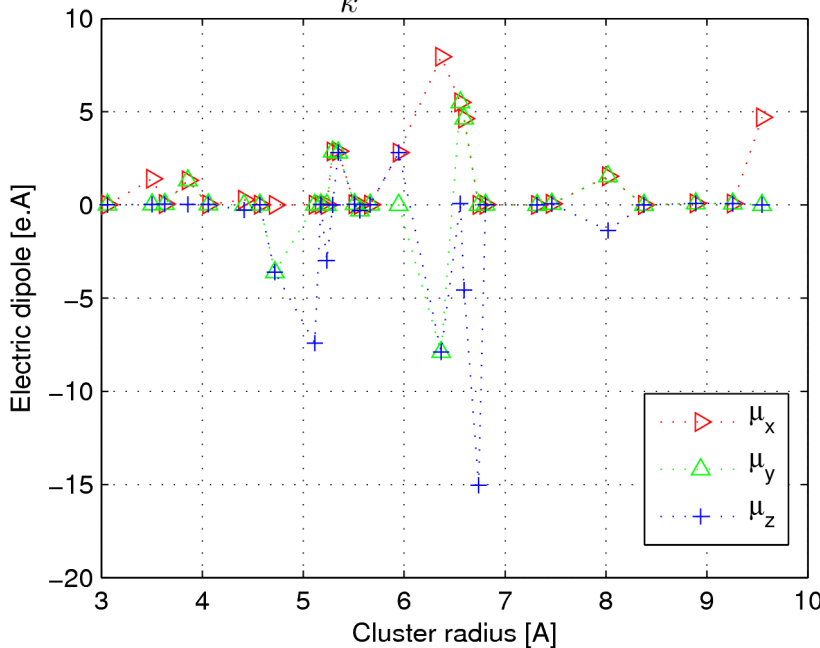


- na základe vlnových funkcií vieme určiť celkovú elektronovú hustotu

$$\rho = -e \cdot \sum_m |\psi_m|^2$$

- ked' potom zahrnieme príspevok jadier ako bodových nábojov – vieme získať dipólový moment

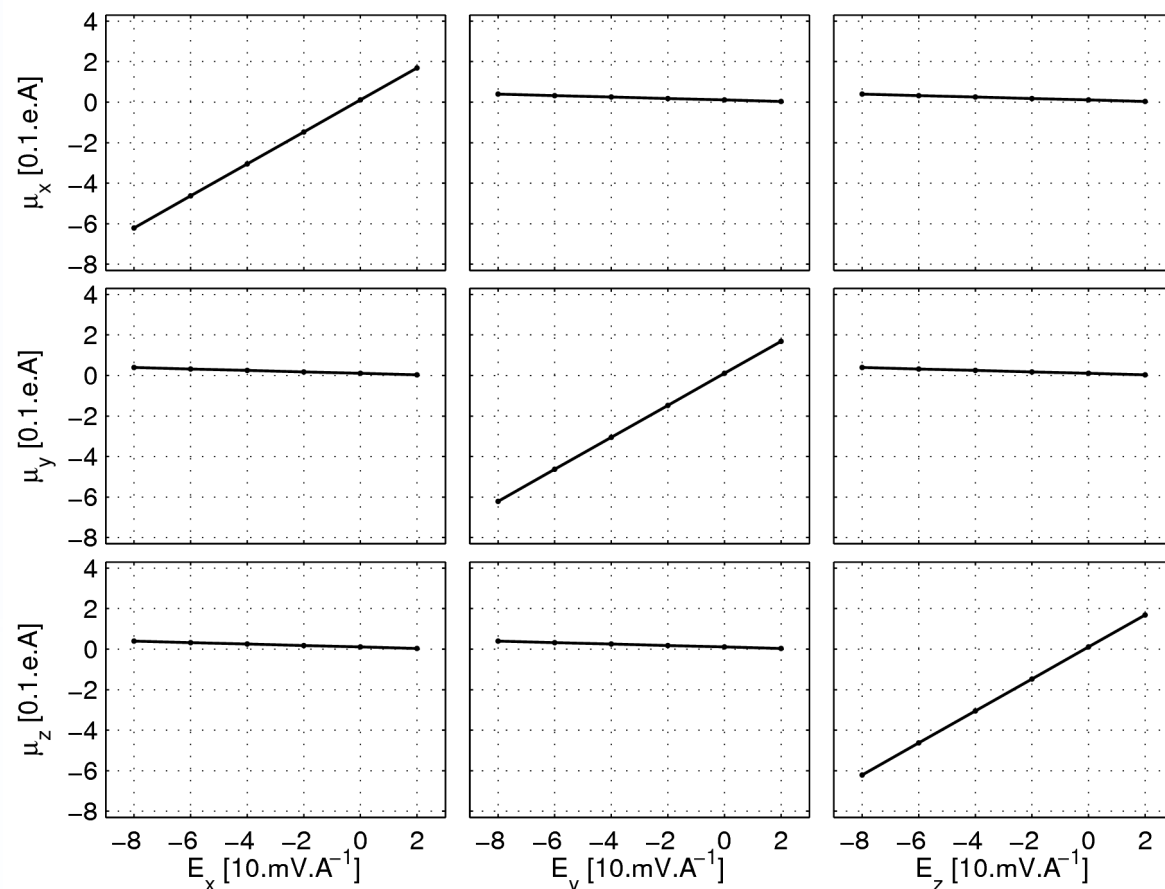
$$\vec{\mu} = \sum_k Z'_k \vec{r}_k + \int \rho \vec{r} dV$$



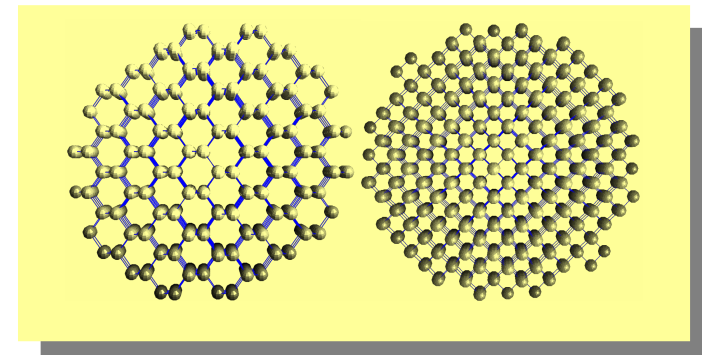
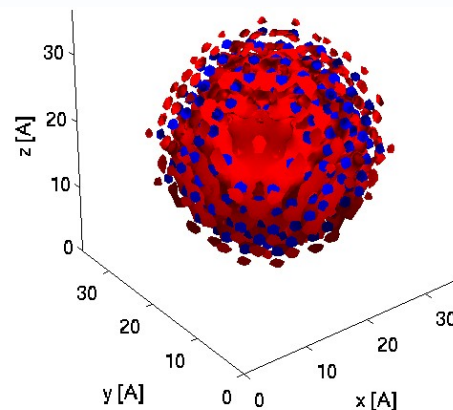
- na nanoštruktúru aplikujeme externé elektrické pole formou statického potencialu

$$\varphi = \vec{x} \cdot \vec{E}$$

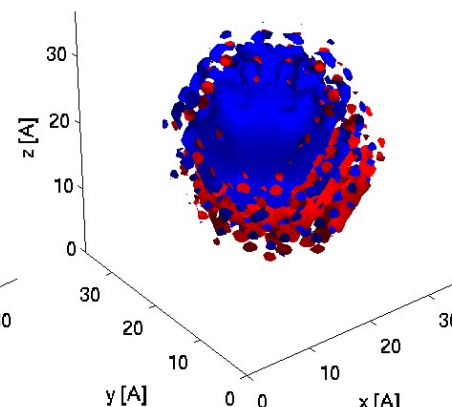
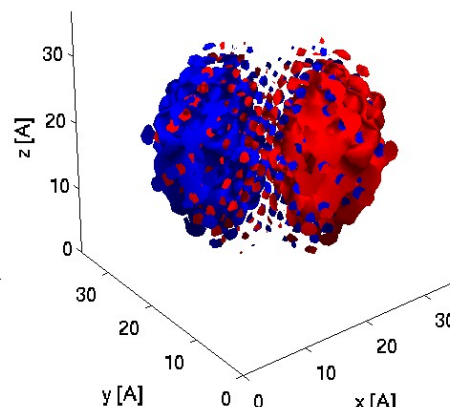
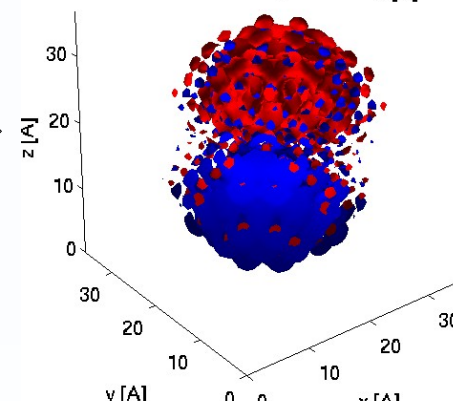
- pre rôzne hodnoty intenzity potom vieme získať hodnoty dipólového momentu



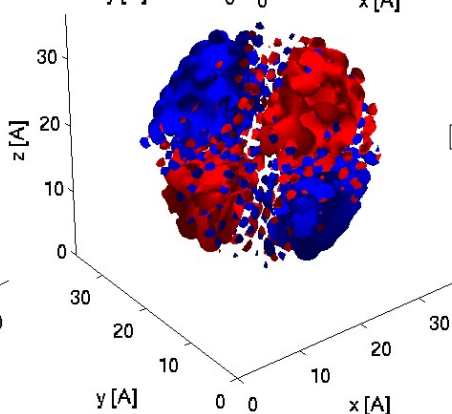
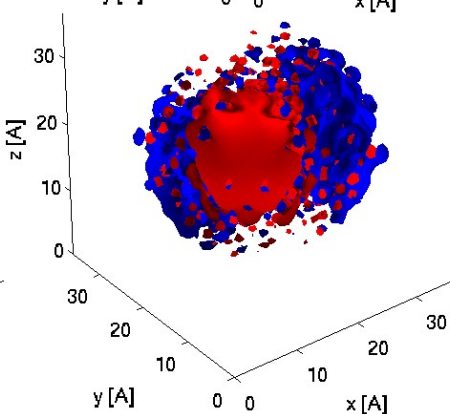
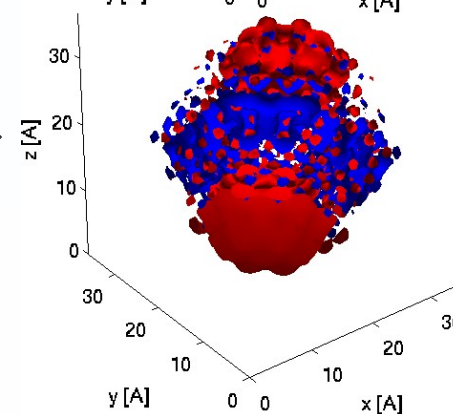
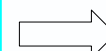
Stav s S-symetriou



Stavy s P-symetriou

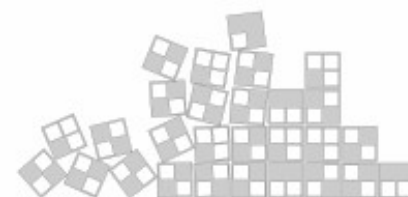


Stavy s D-symetriou



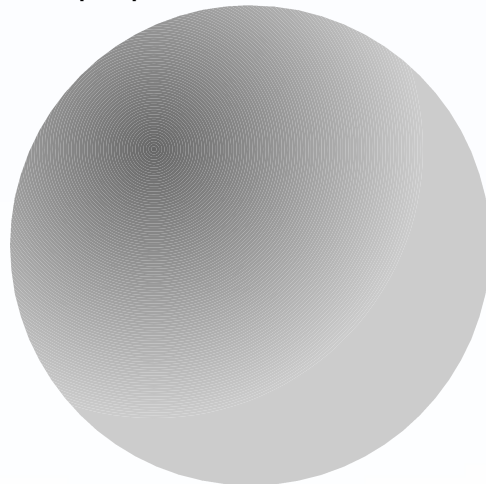
Obsah

- 1) Motivace – nadhled nad pevnými látkami
- 2) Elektrony v pevné látce
 - 1) Fermiho plyn
 - 2) Pásová struktura, Fermiho hladina, hustota stavu
 - 3) Elektrony a díry v polovodičích
- 3) Aproximace efektivní hmotností
 - 1) Okrajové podmínky – kvantová restrikce
 - 2) Heterostruktury - kvantové jámy, dráty a tečky
 - 3) Realní hodnoty pro kvantové tečky
 - 4) Koloidní heterostruktury
- 4) **Metoda Empirického pseudopotenciálu**
 - 1) Základní principy
 - 2) Aplikace na CdSe a Si struktury
- 5) Složitejší přistupy k popisu pevné látky



Makroskopické metódy

- pevná látka = kontinuum
- vychádzajú zo znalosti pásovej štruktúry polovodiča
- vhodné pre väčšie objekty $\sim >2\text{nm}$
- EMA, k.p approximácia

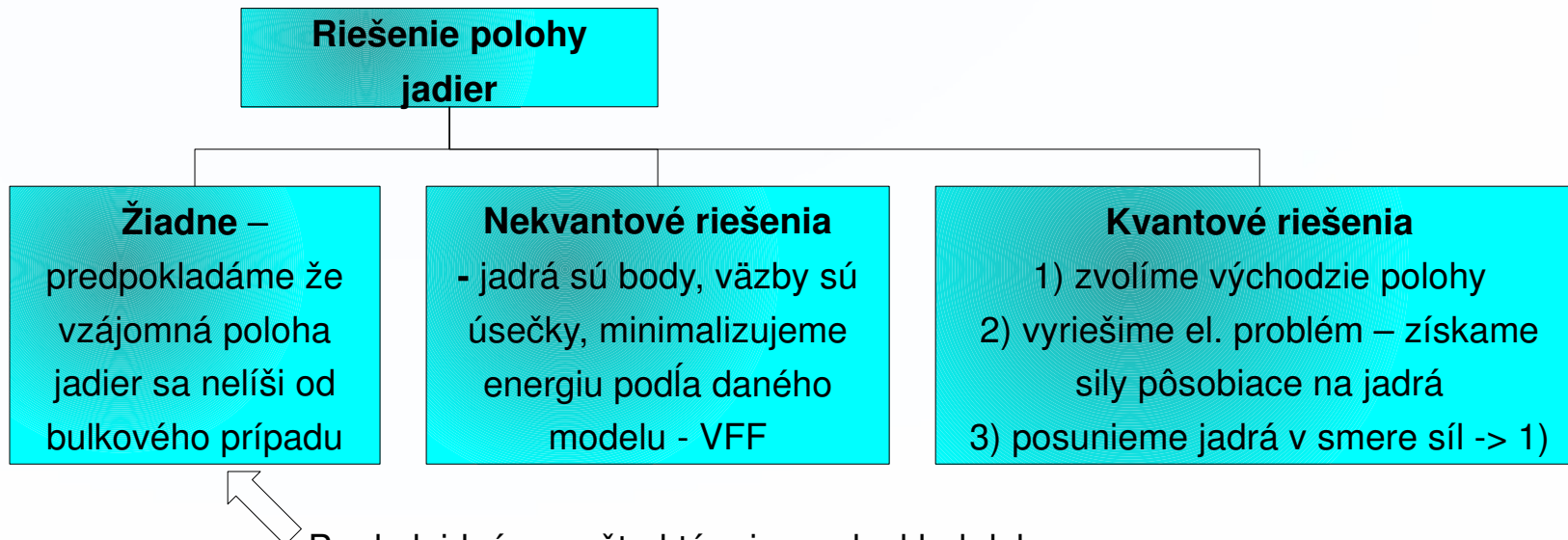


Mikroskopické metódy

- polohy jednotlivých jadier
- elektróny sa pohybujú v potenciáli jadier
- postihujú viac efektov
- väčšia výpočtová náročnosť



- metódy sa vyvíjali už dlho – obmedzenie na prísne periodické štruktúry
- posledné desaťročia – aplikácia metód na nanoštruktúry
- vznikajú špecifické problémy
- takmer vždy uvažujeme Born-Oppenheimerovu approximáciu – jadrá sú pevné počas riešenia elektrónového obalu – neznamená, že polohy jadier neriešime
- rôzne možnosti, ako získať polohu jadier



Pre koloidné nanoštruktúry je predpoklad dobre splnený – ďalej budeme uvažovať túto approximáciu



Metóda, ktorou sa budeme ďalej zaoberať.



Áno
Riešenie el. interakcií

EPM
vplyv elektrónov je zahrnutý v pseudopotenciáli, počas riešenia ho už explicitne neuvažujeme

Hartree-Fock
Self-konzistentné riešenie mnohočasticového problému

DFT
podobne ako HF

Žiadne

Žiadne, existuje ale skupina metód (tzv. post-HF), ktorých cieľom je aspoň čiastočne riešiť el. korelovanosť

Špecifický prístup, v skutočnosti nehľadáme vlnové funkcie ale iba celkovú el. hustotu – vplyv korelácie approximujeme pomocou istého modelu – LDA, GGA

Mikroskopický (atomárny) prístup

Nie
miešanie pásov

Áno
k.p. aproximácia

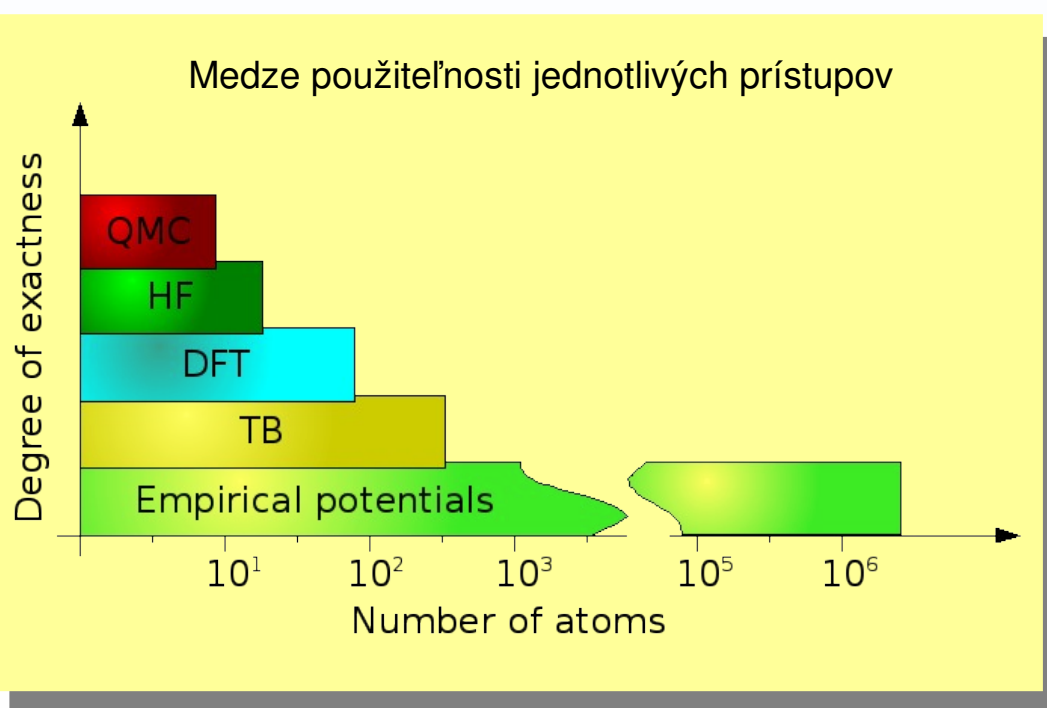
Nie
EMA

Dobre fungujú v mikroblasti – polovodičové súčiastky...

Riešenie elektrónovej korelovanosti



Bohužiaľ, naj sofistikovanejšie a naj presnejšie metódy sú zároveň aj výpočtovo naj náročnejšie.



- QMC a HF, resp. post-HF metódy sú použiteľné skôr v oblasti molekulovej chémie
- metóda DFT bola aplikovaná na nanoštruktúry, limitovaná veľkosť
- metóda empirického pseudopotencialu je ideálny kandidát
 - boli demonštrované výpočty pre 10^6 atómov – nemožné inou (mikroskopickou) metodou
- EPM zachováva atomárny prístup – veľká výhoda oproti EMA



Děkuju za pozornost!

